

**2) Wybrane parametry sygnałów i funkcja autokorelacji**

1. Dla sygnałów: a) impuls prostokątny wsp. wypełnienia 50%, b) fragment sygnał sinusoidalnie zmiennego:  $\sin(2 \pi 0.1 n)$ , c) szum o rozkładzie gaussowskim (*randn*), wyznaczyć (korzystając z podanych poniżej definicji) następujące parametry sygnałów: wartość średnia, energia, moc średnia, wariancja, odchylenie standardowe. Uzyskane wartości porównać z wartościami zwracanymi przez funkcję Matlab'a. Przyjąć długość sygnału  $N=1000$ , indeks próbki sygnału  $n=0,1,...,N-1$ .

**Uwaga:** przydatne funkcje: *randn*, *std*, *var*

$$\text{var}(x) = \frac{1}{N-1} \sum_{n=1}^N (x_n - \bar{x})^2, \quad \bar{x} = \frac{1}{N} \sum_{n=1}^N x_n$$

$$\text{std}(x) = \sqrt{\text{var}(x)}$$

$$E_x = \sum_{n=1}^N |x_n|^2, \quad P_x = \frac{1}{N} \sum_{n=1}^N |x_n|^2$$

**Kod:**

```
clc
clear

N=1000;
n=0:N-1;
%funkcje
a=[ones(1,500),zeros(1,500)];%przebieg prostokatny

b= sin(2*pi*0.1*n);%przebieg sin

c=randn([1,1000]);%rozklad guassa

disp('Wartosc srednia przebiegu prostokatnego')
srednia_a=sum(a)/1000
mean(a)

disp('Wartosc energii przebiegu prostokatnego')
energia_a=sum(a.^2)

disp('Wartosc mocy sredniej przebiegu prostokatnego')
moc_a=energia_a/N
disp('Wartosc wariancji przebiegu prostokatnego')
wariancja_a=sum((a-srednia_a).^2)/(N-1)
var(a)

disp('Wartosc odchylenia standardowego przebiegu prostokatnego')
odchylenie_a= sqrt(wariancja_a)
std(a)
%przebiegu sinusoidalny
disp('Wartosc srednia przebiegu sinusoidalnego ')
srednia_b=sum(b)/1000
mean(b)
disp('Wartosc energii przebiegu sinusoidalnego')
energia_b=sum(b.^2)

disp('Wartosc mocy sredniej przebiegu sinusoidalnego')
moc_b=energia_b/N

disp('Wartosc wariancji przebiegu sinusoidalnego')
wariancja_b=sum((b-srednia_b).^2)/(N-1)
var(b)
```

```

disp('Wartosc odchylenia standardowego przebiegu sinusoidalnego')
odchylenie_b= sqrt(wariancja_b)
std(b)

%szum o rozkladzie gaussa
disp('Wartosc srednia szumu o rozkladzie gaussa ')
srednia_c=sum(c)/1000
mean(c)

disp('Wartosc energii szumu o rozkladzie gaussa')
energia_c=sum(c.^2)

disp('Wartosc mocy sredniej szumu o rozkladzie gaussa')
moc_c=energia_c/N

disp('Wartosc wariancjisumu o rozkladzie gaussa')
wariancja_c=sum((c-srednia_c).^2)/(N-1)
var(c)

disp('Wartosc odchylenia standardowego szumu o rozkladzie gaussa')
odchylenie_c= sqrt(wariancja_c)
std(c)

```

2. Dla następujących sygnałów dyskretnych:

- impuls (jak na rysunku) o czasie trwania  $N=10$  próbek,
- $x=[1,2,3,0,0]$ ;  $y=[4,1,1,0,0]$ ,
- szumu o rozkładzie normalnym,  $N=100$  próbek z generatora *randn*,
- $x_1(t) = \sin(2\pi 5t)$ ,  $x_2(t) = \sin(2\pi 5t) + 0.5\sin(2\pi 10t) + 0.25\sin(2\pi 30t)$  dla  $0 < t < 1$

[s], wyznaczyć funkcję autokorelacji ( $R_{xx}$ ) zgodnie z poniższym wzorem

wersja „biased” 
$$R_{xy}(k) = \frac{1}{N} \sum_n x(n) y(n-k) \quad (a)$$

wersja „unbiased” 
$$R_{xy}(k) = \frac{1}{N-|k|} \sum_n x(n) y(n-k) \quad (b)$$

Uzyskany wynik porównać z funkcją *xcorr*.

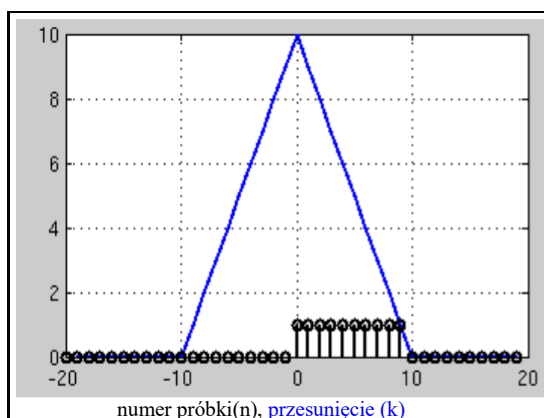
Uwaga: do implementacji „własnej” w Matlabie bardziej dogodne są następujące wzory w zależności od znaku  $k$  (pominięto czynnik normujący przed znakiem sumy)

$$k \geq 0: R_{xy}(k) = \sum_{n=k}^{N-1} x(n) y(n-k), \quad k < 0: R_{xy}(k) = \sum_{n=0}^{N-1-|k|} x(n) y(n-k)$$

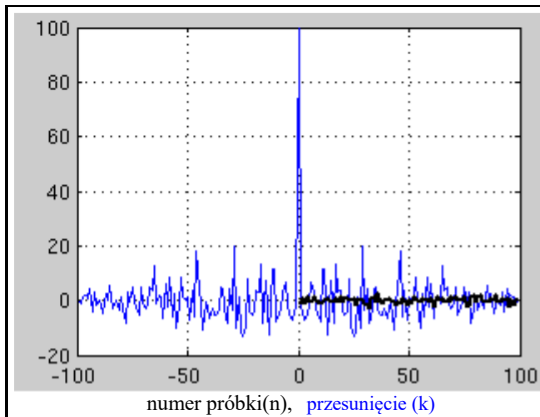
W powyższych wzorach nie uwzględniono czynników skalujących o których mowa w (a) i (b).

**Uwaga:** sygnał (d) jest sygnałem z czasem ciągłym, więc by wykonać obliczenia numeryczne musimy go próbkować.

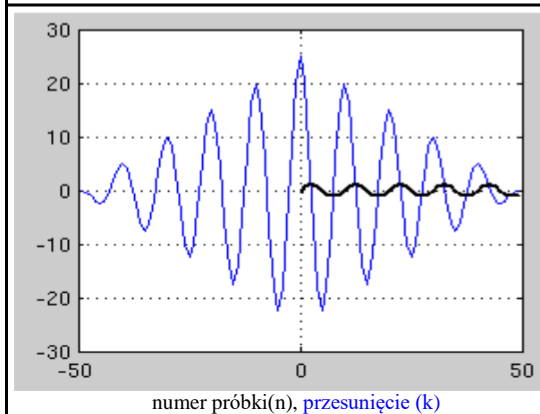
Wyniki dla przykładowych sygnałów tj. (a), (c) oraz  $\sin(2\pi \cdot 0.1 \cdot n)$  pokazano poniżej.



Impuls prostokątny  $\Pi(n)=1, n=0,1,\dots, 9$  (czarny), oraz jego funkcja autokorelacji (kolor niebieski). Uwaga pokazana funkcja autokorelacji jest bez skalowania (tj. bez czynnika  $1/N$ ). Oś X reprezentuje numer próbki, zaś oś Y wartość sygnału lub odpowiednio jego funkcji autokorelacji.



Szum ( $N=100$  próbek) oraz jego funkcja autokorelacji (kolor niebieski). Uwaga pokazana funkcja autokorelacji jest bez skalowania (tj. bez czynnika  $1/N$ ). Oś X reprezentuje numer próbki, zaś os Y wartość sygnału lub odpowiednio jego funkcji autokorelacji.



Sygnał  $\sin(2\pi \cdot 0.1 \cdot [0:N-1])$ ,  $N=50$  oraz jego funkcja autokorelacji (kolor niebieski). Uwaga pokazana funkcja autokorelacji jest bez skalowania (tj. bez czynnika  $1/N$ ). Oś X reprezentuje numer próbki, zaś os Y wartość sygnału lub odpowiednio jego funkcji autokorelacji.

### Kod:

```
clear
clc
close all

% a) impuls o czasie trwania n=10 probek
N=-20:20;
a=rectpuls(N-5,10);
[C_a,LAGS_a]=xcorr(a);
figure(1)
stem(N,a)
hold on
plot(LAGS_a,C_a)
axis([-20 20 0 10])

% b)
x=[1,2,3,0,0];
y=[4,1,1,0,0];
[C_b,LAGS_b]=xcorr(x,y);
figure(2)
stem(x)
hold on
stem(y)
hold on
plot(LAGS_b,C_b)
axis([-6 6 0 12])

% c) szum o rozkladzie normalnym N=100
N1=100;
szum = randn(1,100);
figure(3)
plot(szum)
hold on
```

```

[C_c,LAGS_c]=xcorr(szum);
plot(LAGS_c,C_c)

% d)
t=0:0.02:1;
x1 = sin(2*pi*5*t);
figure(4)
plot(x1)
hold on
[C_d1,LAGS_d1] = xcorr(x1);
plot(LAGS_d1,C_d1)
axis([-50 50 -25 27])

x2 = sin(2*pi*5*t) + 0.5*sin(2*pi*10*t) + 0.25*sin(2*pi*30*t);
figure(5)
plot(x2)
hold on
[C_d2,LAGS_d2] = xcorr(x2);
plot(LAGS_d2,C_d2)
axis([-50 50 -20 35])

```

### Kod wersja druga

```

clc, close all, clear
%dane szumu
n=99;
N=0:1:n;
Y=randn(1,100);
Ra=xcorr(Y,Y);
Nra=-n:1:n;
% -----autokorelacja "biased" DIY
z=[];
YY=fliplr(Y);
for i=1:length(Y)
    g=YY.*Y(i);
    z=[z;g];
end
[r k]=size(z);
t=r+k;
v=2;
A=[];
ii=0;
while(v<=t)
    for i=1:r
        for j=1:k
            if((i+j)==v)
                ii=ii+z(i,j);
            end
        end
    end
    v=v+1;
    A=[A ii];
    ii=0;
end
%jak sygnał jest krótkim wektorem lepiej stem()
plot(Nra,Ra,'g');hold;plot(N,Y,'r');grid
title('Autokorelacja (funkcja)')
legend('Autokorelacja','Zadany sygnał')
figure(2)
plot(Nra,A,'c');hold;plot(N,Y,'r');grid
title('Autokorelacja (własna)')
legend('Autokorelacja','Zadany sygnał')

```

```
e=sum(abs(Ra-A))
```

## 1) Generacja sygnałów

1. Napisać skrypt *imp\_prost.m* generujący impuls prostokątny o czasie trwania  $N$ , przesunięciu  $c$ , szerokości  $b$ . Wielkości te wyrażone są liczbą próbek (przykładowo  $N=100$ ,  $c=50$ ,  $b=20$ ).

**Uwaga:** Wykorzystać funkcje *zeros*, *ones*

**Kod:**

```
%zad 1
N=100;
c=50;
b=20;
x1=[zeros(1,c) ones(1,b) zeros(1,N-c-b)];
figure(1)
plot(x1, '.-r');
```

2. Napisać skrypt *sinus1.m* generujący sygnał sinusoidalnie zmienny o częstotliwości  $f$  [Hz], czasie trwania  $T_d$  [s], częstotliwości próbkowania  $f_p$  [Hz]. Na okoliczność testów przyjąć:  $f=10$ Hz,  $f_p=100$ Hz,  $T_d=1$ s.

**Kod:**

```
%zad 2

f2=10;
fp2=100;
Td=1;
t2=[0:1/fp2:Td];
x2=sin(2*pi*f2*t2);
figure(2)
plot(t2,x2, '.-b');
```

3. Napisać skrypt *sinus2.m* generujący sygnał sinusoidalnie zmienny o częstotliwości  $f$  [Hz], czasie trwania wyrażonym liczbą próbek  $N$ , częstotliwości próbkowania  $f_p$  [Hz]. Na okoliczność testów przyjąć:  $f=10$ Hz,  $f_p=100$ Hz,  $N=200$ .

**Kod:**

```
%zad 3
f3=10;
fp3=100;
N=200;
t3=[0:N-1]*(1/fp3);
x3=sin(2*pi*f3*t3);
figure(3)
plot(t3,x3, '.-b');
```

4. Częstotliwość chwilowa sygnału o liniowo narastającej częstotliwości  $\omega_i$  od pewnej częstotliwości początkowej  $\omega_0$  z prędkością  $k = \omega / \Delta T$  [rad / s<sup>2</sup>] określona jest:

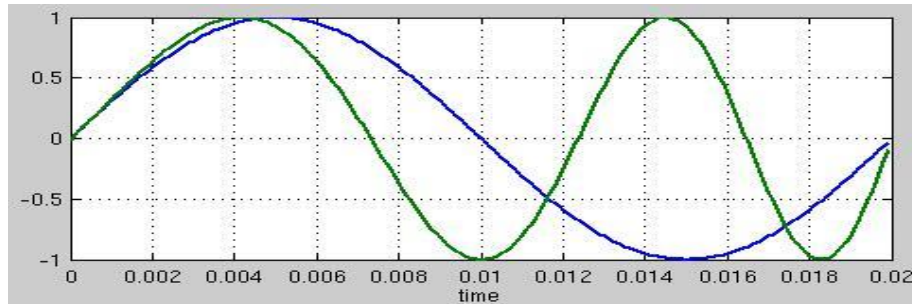
$$\frac{d\phi}{dt} = \omega_i(t) = \omega_0 + kt$$

Wykazać, że sygnał dyskretny, którego częstotliwość chwilowa jest określona jak powyżej dany jest zależnością

$$x(n) = \sin\left(\omega_0 \frac{n}{f_p} + \frac{1}{2} k \left(\frac{n}{f_p}\right)^2 + \phi_0\right).$$

Następnie, napisać skrypt *sinus\_lin\_mod.m* generujący sygnał sinusoidalnie zmienny o liniowo narastającej częstotliwości z szybkością 50Hz/0.01s, liczba próbek  $N = 200$ . Częstotliwość początkowa  $f_0 = 50$  Hz, częstotliwość próbkowania  $f_p = 10$  kHz, faza początkowa  $\phi_0=0$ .

Uwaga: w podanym wzorze na  $x(n)$  współczynnik  $k$ , określający szybkość liniowego narastania częstotliwości, wyrażony jest w [rad/s<sup>2</sup>], zaś w zadaniu w [1/s<sup>2</sup>].



(krzywa: niebieska – sygnał o częstotliwości  $f_0$ , zielona – sygnał  $x(n)$ )

**Kod:**

```
%zad 4
```

```
N4=200;
f04=50
fp4=10000
fi04=0
w04=2*pi*f04;
k4=10000*pi
Td4=N4/fp4;
tw4=[0:1/fp4:Td4];
x4=sin(w04*tw4+0.5*k4*(tw4).^2+fi04);
y4=sin(w04*tw4);
figure(4)
hold on
grid on
plot(tw4,x4,'.-r',tw4,y4,'.-b');
```

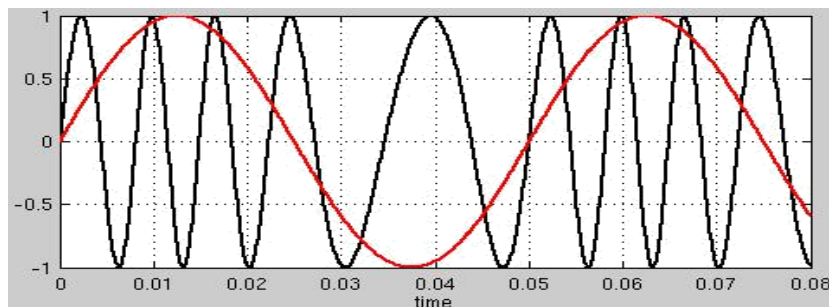
5. Częstotliwość chwilowa sygnału odstraja się od  $\omega_0$  o pewną wartość zwaną **dewiacją częstotliwości**  $\omega$  w sposób sinusoidalnie zmienny z częstotliwością  $\omega_m$ :

$$\omega_i(t) = \omega_0 + \Delta\omega \sin(\omega_m t)$$

Wykazać, że sygnał o tak zmieniającej się częstotliwości chwilowej dany jest wzorem:

$$x(t) = \sin(\phi(t)), \quad \phi(t) = \omega_0 t - \frac{\omega_m}{\omega_0} \cos(\omega_m t) + \omega_m t + \phi(0)$$

Napisać skrypt *sinus\_sin\_mod.m* generujący sygnał sinusoidalny z sinusoidalnie modulowaną częstotliwością i liczbie próbek  $N = 800$ . Częstotliwość spoczynkowa  $f_0 = 100$  Hz, dewiacja częstotliwości  $\Delta f = 50$  Hz, częstotliwość sygnału modulującego  $f_m = 20$  Hz, częstotliwość próbkowania  $f_p = 10000$  Hz. Uwaga: w powyższym:  $\omega = 2\pi f$ .



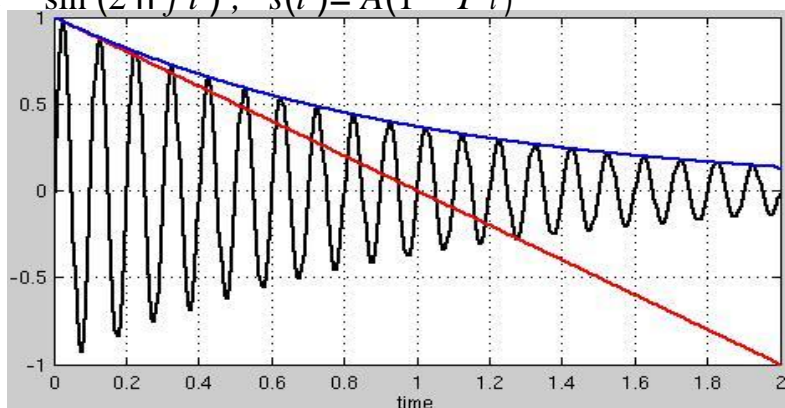
(krzywa: czarna – sygnał  $x(n)$ , czerwona – sygnał modulujący o częstotliwości  $f_m$ )

**Kod:**

```
N5=800;
f05=100;
delf5=50;
fm5=20;
fp5=10000;
fi05=0;
w05=2*pi*f05;
delw5=2*pi*delf5 ;
wm5=2*pi*fm5;
Td5=N5/fp5;
tw5=[0:1/fp5:Td5];
x5=sin(w05*tw5-(delw5/wm5)*cos(wm5*tw5)+delw5/wm5+fi05);
y5=sin(wm5*tw5);
figure(5)
hold on
grid on
plot(tw5,x5,'.-k',tw5,y5,'.-r');
```

6. Napisać skrypt *sinus\_exp.m* generujący sygnał sinusoidalnie zmienny o częstotliwości  $f = 10\text{Hz}$  i wykładniczo malejącej amplitudzie, ze stałą czasową  $T = 1\text{s}$ , czas trwania wygenerowanego sygnału  $Td=2$  sekundy. Narysować styczną do obwiedni sygnału w punkcie  $t=0$ . Wykorzystać poniższe równania, dobrać częstotliwość próbkowania.

$$x(t) = A e^{-t/T} \sin(2\pi f t), \quad s(t) = A(1 - \frac{1}{T} t)$$



(krzywa: czarna – sygnał  $x(n)$ , niebieska – obwiednia, czerwona – styczna)

**Kod:**

```
f=10;
fp=500;
T=1;
Td=2;

t=(0:1/fp:Td-1/fp);

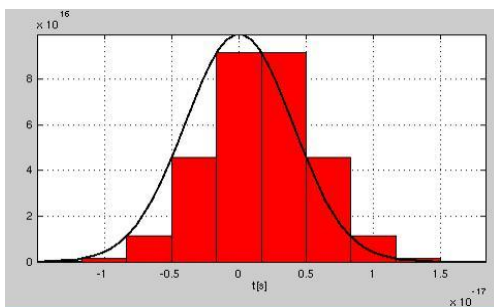
y=exp(-t/T) .*sin(2*pi*f*t);
s=1-t/T;
figure(6)
plot(t,y)
hold on
```



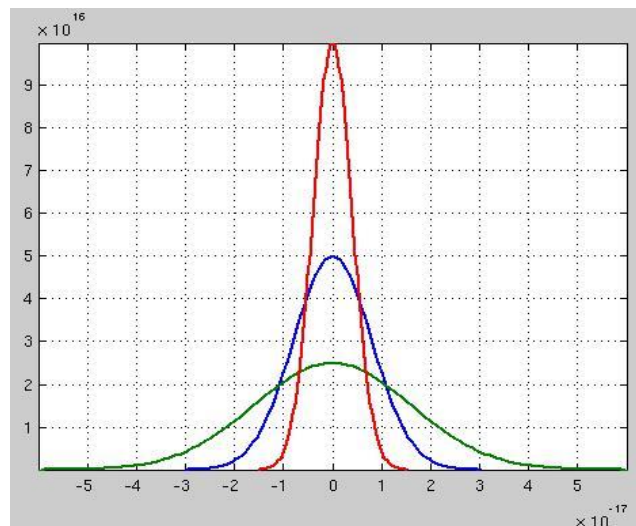
```
plot(t,s)
hold on
plot(t,exp(-t))
```

7. Napisać skrypt *ddirac.m* rysujący przybliżenie impulsu Diraca (poprzez funkcję wykładniczą), wyznaczyć pole powierzchni pod wykresem impulsu. W zadaniu należy wykorzystać funkcję  $\delta(t, \tau)$ , pokazaną poniżej. Przy dyskretyzacji funkcji  $\delta(t, \tau)$  przyjąć  $N=1000$  jako liczbę próbek oraz  $\tau=10^{-17}$ . Dobrać krok dyskretyzacji osi czasu, tak by na wykresie uwidocznili fragment funkcji odpowiadający odcinkowi czasu  $t$  o długości ok  $5 \times \tau$  (patrz rysunek poniżej).

$$\delta(t, \tau) = \frac{1}{\tau} e^{-\pi^2 t^2 / \tau^2}$$



Ilustracja zasady całkowania numerycznego metodą prostokątów.



Funkcja aproksymująca  $\delta(t, \tau)$  dla  $\tau=4 \times 10^{-17}$  (zielona),  $\tau=2 \times 10^{-17}$  (niebieska) oraz  $\tau=10^{-17}$  (czerwona)

Kod:

```
%Zad. 1.7
```

```
N = 1000;
```

```
tau = 10^-17;
```

```
tau2 = 2*10^-17;
```

```
tau3 = 4*10^-17;
```

```
t = -5/2*tau:5*tau/(N-1):5/2*tau;
```

```
di = exp(-pi*t.^2/tau^2)/tau;
```

```
di2 = exp(-pi*t.^2/tau2^2)/tau2;
```

```
di3 = exp(-pi*t.^2/tau3^2)/tau3;
```

```
plot(t,di,'.-k',t,di2,'-b',t,di3,'-r')
```

```
P_di = sum(di)*(t(2)-t(1))
```

```
P_di2 = sum(di2)*(t(2)-t(1))
```

```
P_di3 = sum(di3)*(t(2)-t(1))
```

**3) Szereg Fouriera**

1. Narysować kilka funkcji z podanych zbiorów i wyznaczyć ich iloczyny skalarne

$$\text{Zbiór 1. } \left\{ \frac{1}{T}, \frac{2}{T} \cos \frac{2}{T} nt, \frac{2}{T} \sin \frac{2}{T} nt : n=1,2,\dots \right\}$$

$$\text{Zbiór 2. } \left\{ \frac{1}{T} e^{j \frac{2}{T} nt} : n=0,\pm 1,\pm 2,\dots \right\}$$

$$\text{Zbiór 1. } \left\{ \frac{1}{\sqrt{T}}, \sqrt{\frac{2}{T}} \cos \frac{2\pi}{T} nt, \sqrt{\frac{2}{T}} \sin \frac{2\pi}{T} nt : n=1,2,\dots \right\}$$

$$\text{Zbiór 2. } \left\{ \frac{1}{\sqrt{T}} e^{j \frac{2\pi}{T} nt} : n=0,\pm 1,\pm 2,\dots \right\}$$

**Kod:**

```
clear; clc;
```

```
%rysunek kilku funkcji i ich iloczyn skalarny
```

```
T = 1; n = 1; t = 0:0.001:T;
```

```
f1 = 1/sqrt(T);
```

```
figure(1);
```

```
subplot(5,1,1);
```

```
f2a = sqrt(2/T)*cos(2*pi*t/T); plot(f2a); grid on; axis([0 1000 -2 2]);
```

```
subplot(5,1,2);
```

```
f2b = sqrt(2/T)*cos(2*pi*2*t/T); plot(f2b); grid on; axis([0 1000 -2 2]);
```

```
subplot(5,1,3);
```

```
f2c = sqrt(2/T)*cos(2*pi*3*t/T); plot(f2c); grid on; axis([0 1000 -2 2]);
```

```
subplot(5,1,4);
```

```
f2d = sqrt(2/T)*cos(2*pi*4*t/T); plot(f2d); grid on; axis([0 1000 -2 2]);
```

```
subplot(5,1,5);
```

```
f2e = sqrt(2/T)*cos(2*pi*5*t/T); plot(f2e); grid on; axis([0 1000 -2 2]);
```

```
figure(2);
```

```
subplot(5,1,1);
```

```
f3a = sqrt(2/T)*sin(2*pi*t/T); plot(f3a); grid on; axis([0 1000 -2 2]);
```

```
subplot(5,1,2);
```

```
f3b = sqrt(2/T)*sin(2*pi*2*t/T); plot(f3b); grid on; axis([0 1000 -2 2]);
```

```
subplot(5,1,3);
```

```
f3c = sqrt(2/T)*sin(2*pi*3*t/T); plot(f3c); grid on; axis([0 1000 -2 2]);
```

```
subplot(5,1,4);
```

```
f3d = sqrt(2/T)*sin(2*pi*4*t/T); plot(f3d); grid on; axis([0 1000 -2 2]);
```

```
subplot(5,1,5);
```

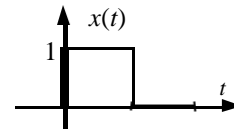
```
f3e = sqrt(2/T)*sin(2*pi*5*t/T); plot(f3e); grid on; axis([0 1000 -2 2]);
```

```
C1 = dot(f2a,f3a)
```

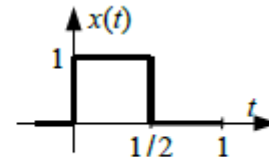
```
C2 = dot(f2b,f2e)
```

2. Dany jest szereg Fouriera reprezentujący sygnał ciągu impulsów prostokątnych (patrz rys):

$$x(t) \approx \sum_{n=-N}^N X_n e^{j \frac{2\pi}{T} nt}, \quad X_n = \begin{cases} 1/2, & n=0 \\ \frac{(-1)^n - 1}{-j 2\pi n}, & n \neq 0 \end{cases}$$



$$x(t) \approx \sum_{n=-N}^N X_n e^{j \frac{2\pi}{T} nt}, \quad X_n = \begin{cases} 1/2, & n=0 \\ \frac{(-1)^n - 1}{-j 2\pi n}, & n \neq 0 \end{cases}$$



Napisać program, który wyznaczy sygnał  $x(t)$  dla kilku wybranych wartości  $N$  (patrz przykładowe rysunki). Sygnał wyznaczyć dla  $t$  z następujących przedziałów:  $t=[0; T]$ ,  $t=[-T; T]$ ,  $t=[-T/2; T]$ . Zaobserwować własność okresowości rekonstruowanego sygnału, a także efekt Gibbsa. Sprawdzić jak zachowuje się błąd aproksymacji w funkcji  $N$  określony poniższym wzorem:

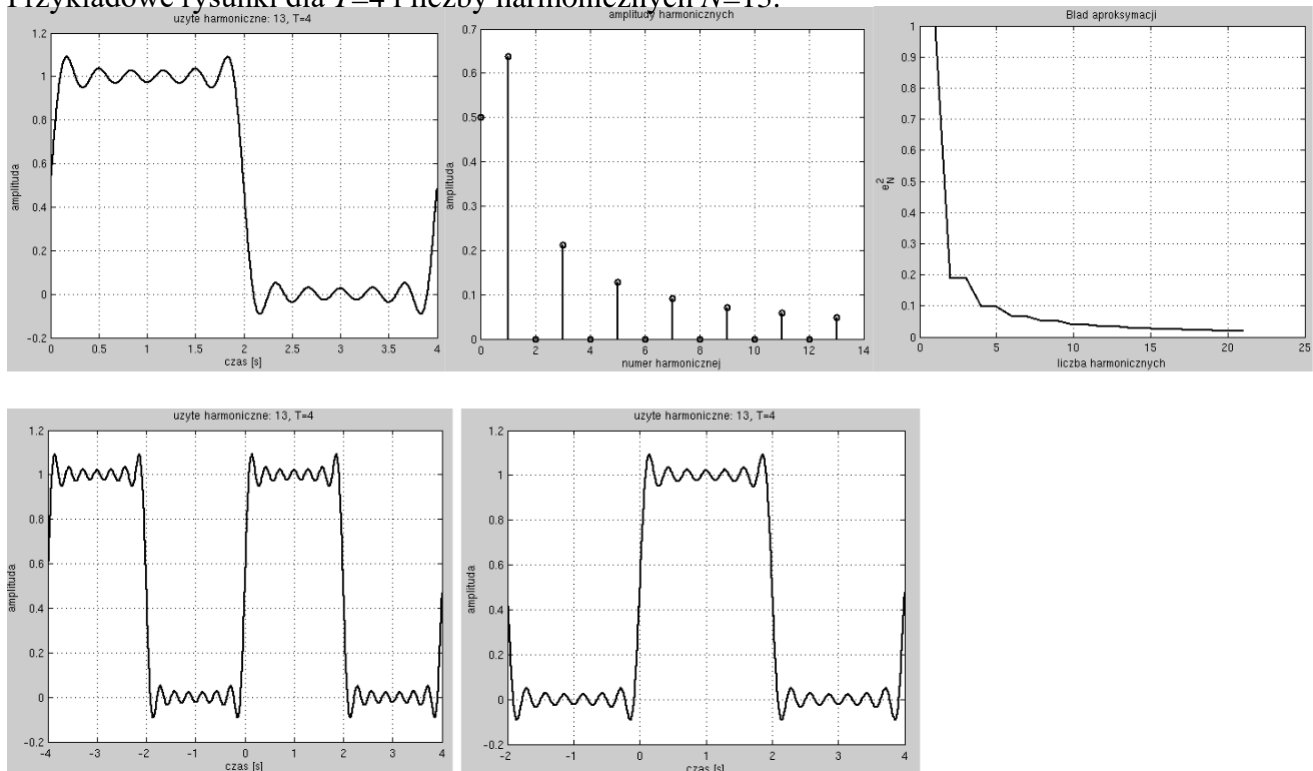
$$e^2_N = \int_0^T |x(t) - \sum_{n=-N}^N X_n e^{j \frac{2\pi}{T} nt}|^2 dt = \int_0^T |x(t)|^2 dt - T \sum_{n=-N}^N |X_n|^2$$

**Uwaga.** Ponieważ  $X_n = -X_{-n}$  powyższy szereg można również zapisać w postaci

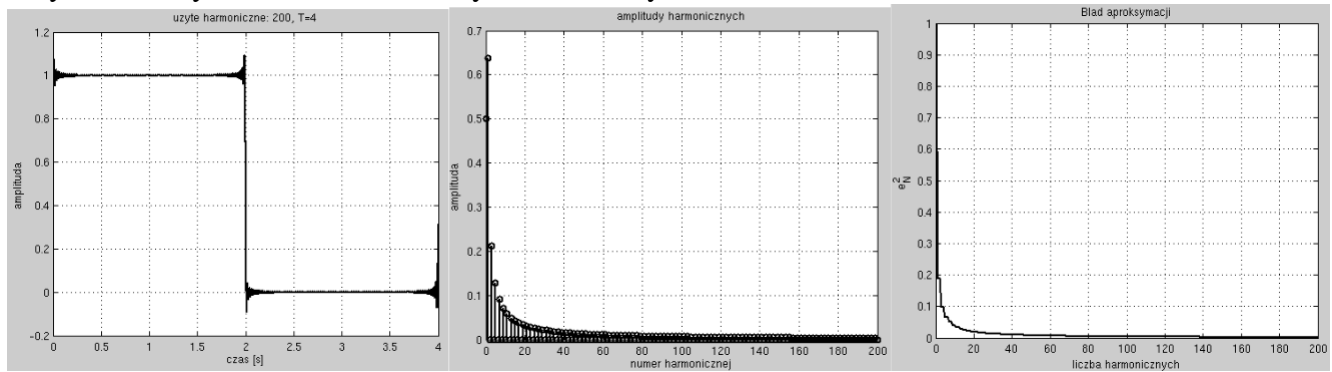
$$x(t) \approx \sum_{n=-N}^N X_n e^{j \frac{2\pi}{T} nt} = X_0 + \sum_{n=1}^N X_n (e^{j \frac{2\pi}{T} nt} - e^{-j \frac{2\pi}{T} nt}) = X_0 + \sum_{n=1}^N 2j X_n \sin\left(\frac{2\pi}{T} nt\right), \text{ gdzie}$$

$X_0$  jest składową stałą sygnału, zaś  $2j X_n$  jest amplitudą  $n$ -tej harmonicznej.

Przykładowe rysunki dla  $T=4$  i liczby harmonicznych  $N=13$ .



Przykładowe rysunki dla  $T=4$  i liczby harmoniczych  $N=200$ .



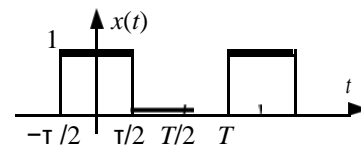
Kod:

```
T=4;
N=13;
n=[1:N];
dt=0.001;
t=[0:dt:T];
X0=0.5;
Xn=((-1).^n'-1)./(-j*2*pi*n')
xt=X0+sum(2*j*Xn.*sin(2*pi.*n'.*t/T));
figure(1); hold on; grid on; %użyte harmoniczne z wzoru x(t)
plot(t,xt)
figure(2); hold on; grid on; title('Amplitudy harmonicznych'); %amplitudy
harmonicznych
stem(n,2*abs(Xn),'b')
stem(0,X0,'b')

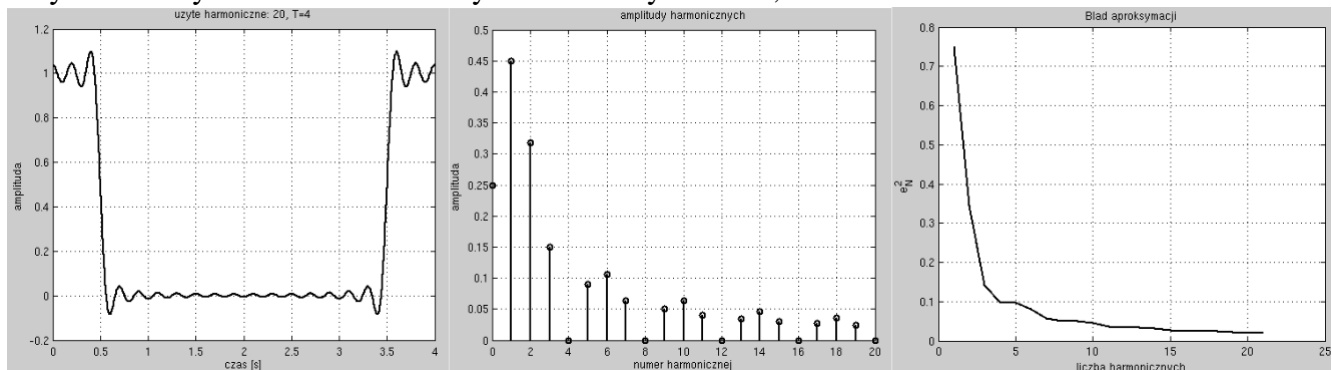
for m=1:N
    E(m)=dt*sum(abs(xt).^2) - T*sum(T*abs(Xn(1:m)).^2);
end
figure(3); hold on; grid on; title('Bład aproksymacji') %błąd aproksymacji
plot(n,abs(E))
```

3. Korzystając ze wzoru (a) wyznaczyć współczynniki zespolonego szeregu Fouriera (b) reprezentujący niżej przedstawiony sygnał prostokątny o współczynniku wypełnienia  $d = \tau/T$ . Napisać program wyznaczający (rekonstruujący) przebieg czasowy sygnału  $x(t)$  dla  $t=[0; T]$ ,  $t=[-T; T]$ ,  $t=[-T/2; T]$ . Przyjąć współczynnik wypełnienia ( $d$ ) równy 25%. Zaobserwować zachowanie się modułów współczynników Fouriera (a), zwłaszcza tych związanych z wyższymi harmonicznymi, w funkcji zmiany współczynnika wypełnienia ( $d$ ).

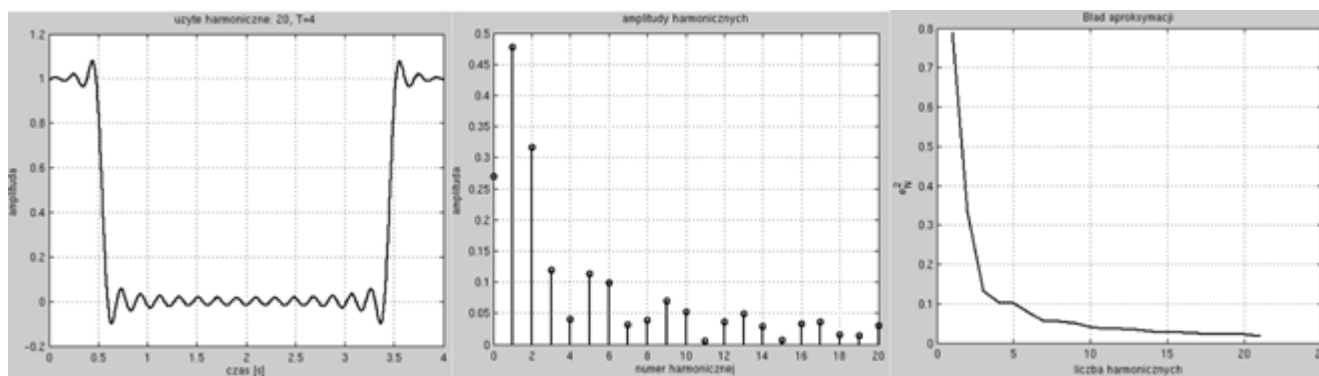
$$X_n = \frac{1}{T} \int_{-\tau/2}^{\tau/2} 1 e^{-j\omega_0 n t} dt \quad (a) \quad x(t) \approx \sum_{n=-N}^N X_n e^{j\frac{2\pi n t}{T}}, \quad (b)$$



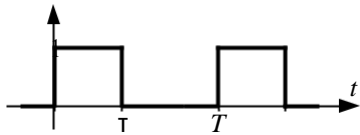
Przykładowe rysunki dla  $T=4$  i liczby harmoniczych  $N=20$ ,  $d=0.25$



Przykładowe rysunki dla  $T=4$  i liczby harmonicznych  $N=20$ ,  $d=0.27$



4. Sprawdzić (analitycznie), że niżej podane szeregi Fouriera (a) i (b) odpowiadają przebiegowi prostokątnemu pokazanemu na poniższym rysunku:



$$\tau/T = d,$$

Napisać program, który wyznaczy sygnał  $x(t)$  dla  $d = 0.25$  oraz kilku wybranych wartości  $N$ . Sprawdzić nierówność Bessela dla obu szeregów (a) i (b).

$$x(t) = d + \frac{1}{\pi} \sum_{n=1}^N \frac{2}{n} \sin(\omega_0 n \tau/2) \cos(\omega_0 n t - \omega_0 n \tau/2) \quad (a)$$

$$x(t) = d + \frac{1}{\pi} \sum_{n=1}^N \frac{1}{n} [\sin \omega_0 n \tau \cos \omega_0 n t - [\cos \omega_0 n \tau - 1] \sin \omega_0 n t] \quad (b)$$

Dla przypomnienia niżej podano nierówność Bessela wraz z odpowiadającą jej szeregiem Fouriera.

$$\int_a^b |x(t)|^2 dt \geq \sum_{k=0}^{\infty} |a_k|^2 \int_a^b \varphi_k(t)^2 dt, \quad x(t) = \sum_{k=0}^{\infty} a_k \varphi_k(t) \quad (c)$$

5. Wyznaczyć współczynniki zespolonego szeregu Fouriera reprezentującego sygnał trójkątny o zerowej składowej stałej. W zadaniu należy skorzystać z wyników zadania 2 (dla przebiegu prostokątnego z zerową składową DC, tj.  $X_0 = 0$ ) oraz faktu, że sygnał trójkątny jest całką sygnału prostokątnego.

Rozwinąć w szereg Fouriera sygnał prostokątny bez składowej stałej, o wypełnieniu 50 %, którego jeden okres:

$$x(t) = \begin{cases} 1/2, & 0 < t < T/2 \\ -1/2, & T/2 < t < T \end{cases}$$

dane jest wzorem:

$$x(t) = \sum_n X_n e^{j\omega_0 n t}, \quad \omega_0 = \frac{2\pi}{T}, \quad X_n = \begin{cases} 0, & n=0 \\ \frac{(-1)^n - 1}{-j2\pi n}, & n \neq 0 \end{cases}$$

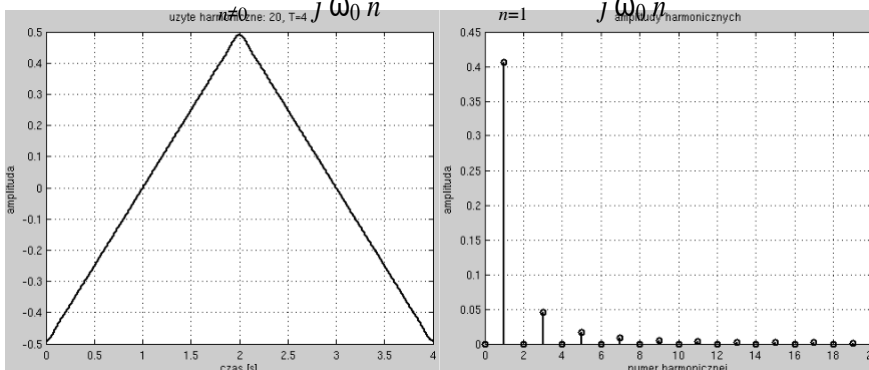
Całkując  $x(t)$  w przedziale od 0 do  $t < T$  otrzymujemy:

$$x(t) = \int_0^t x(\tau) d\tau = \int_0^t \sum_n X_n e^{j\omega_0 n \tau} d\tau = \sum_n X_n \frac{1}{j\omega_0 n} (e^{j\omega_0 n t} - 1)$$

$$x(t) = -\sum_{n \neq 0} X_n \frac{1}{j\omega_0 n} + \sum_{n \neq 0} X_n \frac{1}{j\omega_0 n} e^{j\omega_0 n t}$$

Pierwszy czynnik w powyższym równaniu stanowi składową stałą. Pomijając ją otrzymujemy sygnał trójkątny o zerowej składowej stałej:

$$x_0(t) = \sum_{n=1}^{\infty} X_n \frac{1}{j\omega_0 n} e^{j\omega_0 n t} = \sum_{n=1}^{\infty} X_n \frac{1}{j\omega_0 n} 2 \cos(\omega_0 n t)$$



Wyjaśnić dlaczego w powyższym szeregu pojawiły się funkcje kosinus, a dlaczego w szeregu reprezentującym przebieg prostokątny  $x^\Pi(t)$  są funkcje sinus.

Kod:

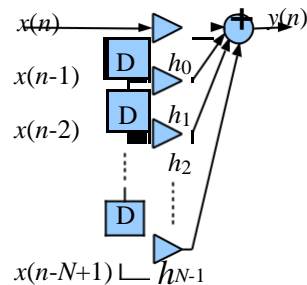
```
clc;
clear all;
close all;
%zadanie 5
T=4;
N=13;
n=[1:N];
dt=0.001;
t=[0:dt:T];
X0=0.5;
Xn=(-1).^n'-1)./(-j*2*pi*n')
w0=2*pi/T;
xtrojkat=sum(Xn.*2.*cos(w0*n'.*t)./(j*w0*n')); %trójkąt o zerowej składowej
stałej
figure(4); grid on; hold on;
plot(t,xtrojkat)
figure(5);
A5=abs(Xn.*2.*cos(w0*n'.*t)./(j*w0*n')); %amplitudy harmoniczných z x(t) na
trojkat
stem(n,A5(:,1)')
grid on; title('Amplitudy harmoniczných');
```



**Układy dyskretne LTI – projektowanie filtrów typu FIR**

**Z1.** Napisać funkcję  $y = \text{filtruj}(x, h)$ , która wyznacza sygnał  $y$  będący wynikiem filtracji sygnału  $x$  przez filtr FIR o odpowiedzi impulsowej  $h$ . Implementację należy wykonać w oparciu o schemat blokowy pokazany poniżej.

$$y(n) = \sum_{k=0}^{N-1} h(k) x(n-k),$$



Uzyskany wynik porównać z funkcją *filter* z Matlab. Do testowania testowania poprawności działania użyć sygnałów  $x = [1 \ 2 \ 3]$ ,  $h = [1 \ 1 \ 1 \ 1]$ : *filter(h, 1, x)*.

**Kod:**

```
clc;clear all;close all;
x=[1 2 3];
h=[1 1 1 1];
```

```
N=length(x);
```

```
y2=[];
```

```
for k=0:N-1;
    n=k:N-1;
```

```
    y(n+1)=sum(h(1+k).*x(n-k+1));
```

```
    y=circshift(y,1);
```

```
    %PT: jest OK, ale prosze rozwazyc inna konstrukcje do przesuwania
    bufora w dol
```

```
end
```

```
y
```

```
fil=filter(h,1,x)
```

**Z2.** Napisać funkcję (ewentualnie skrypt) wyznaczającą próbki odpowiedzi impulsowej filtru dolnoprzepustowego o częstotliwości granicznej  $g = 1/4$  i górnoprzepustowego o  $g = 1/8$ . Odpowiedź impulsowa idealnego (nie obciążonego) filtru o charakterystyce częstotliwościowej  $H(e^{j\omega})$  dana jest wzorem:

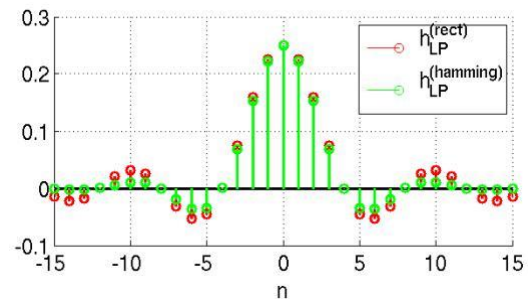
$$h(n) = \frac{1}{2\pi} \int_{-\pi}^{\pi} H(e^{j\omega}) e^{j\omega n} d\omega, \quad -\infty < n < \infty.$$

Odpowiedź impulsowa dolnoprzepustowego filtru typu FIR jest równa:

$$h_{LP}(n) = \begin{cases} \frac{\omega}{\pi}, & n=0 \\ \frac{\sin(\omega_g n)}{\pi n}, & n \neq 0 \end{cases},$$

Po obcięciu oknem  $w(n)$  mamy:

$$h_{LP}^W(n) = w(n) h_{LP}(n), \quad -N \leq n \leq N.$$



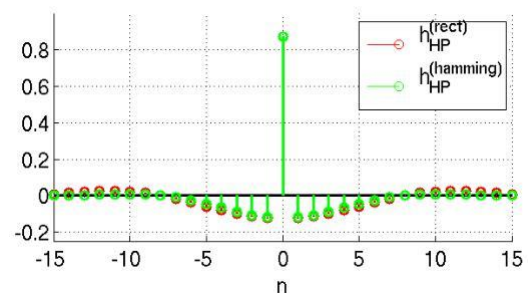
Rys. Odpowiedzi impulsowe filtrów z oknem prostokątnym i oknem Hamminga,  $N=15$ ,  $g = 1/4$ .

Odpowiedź impulsowa górnoprzepustowego filtru typu FIR z oknem  $w(n)$  jest równa:

$$h_{HP}(n) = \begin{cases} 1 - \frac{\omega}{\pi}, & n=0 \\ -\frac{\sin(\omega_g n)}{\pi n}, & n \neq 0 \end{cases},$$

Po obcięciu oknem  $w(n)$  mamy:

$$h_{HP}^W(n) = w(n) h_{HP}(n), \quad -N \leq n \leq N.$$



Rys. Odpowiedzi impulsowe filtrów z oknem prostokątnym i oknem Hamminga,  $N=15$ ,  $g = 1/8$ .

Uwaga: funkcja okna czasowego  $w(n)$  może być uzyskana w wyniku wywołania funkcji: *hamming* lub *blackman* pakietu Matlaba. Odpowiedzi impulsowe narysowano funkcją *stem*.

**Kod:**

```
%% filtr dolnoprzepustowy
N=15;
n1=-N:N;

wgr=pi()/4;

%ujemna część
n=-N:(-1);
h_lp_u=sin(wgr*n)/(pi()*n);
%zero
h_lp_0=wgr/pi();
%czytanie
n=1:N;
h_lp_d=sin(wgr*n)/(pi()*n);

hlp=[h_lp_u,h_lp_0,h_lp_d];
stem(n1,hlp,'r');grid on;hold on

win=hamming(size(n1,2));
hlp_ham=hlp'.*win;
```

```

stem(n1,hlp_ham,'g');
grid on;
hold on;
legend('h_{LP}^{(rect)}','h_{LP}^{(hamming)}')

```

```

%% filtr gÅłrnoprzepustowy

```

```

N=15;

```

```

n2=-N:N;

```

```

wgr_g=pi()/8;

```

```

%ujemna czeŁ>Ä+

```

```

n=-N:(-1);

```

```

h_hp_u=(-sin(wgr_g*n))./(pi*n);

```

```

%zero

```

```

h_hp_0=1-(wgr_g/pi);

```

```

%cZÄ™Ł>c+

```

```

n=1:N;

```

```

h_hp_d=(-sin(wgr_g*n))./(pi*n);

```

```

hhp=[h_hp_u,h_hp_0,h_hp_d];

```

```

figure(2)

```

```

stem(n2,hhp,'r');

```

```

grid on;

```

```

hold on;

```

```

win2=hamming(size(n2,2));

```

```

hhp_ham=hhp'.*win2;

```

```

stem(n2,hhp_ham,'g');

```

```

grid on;

```

```

hold on;

```

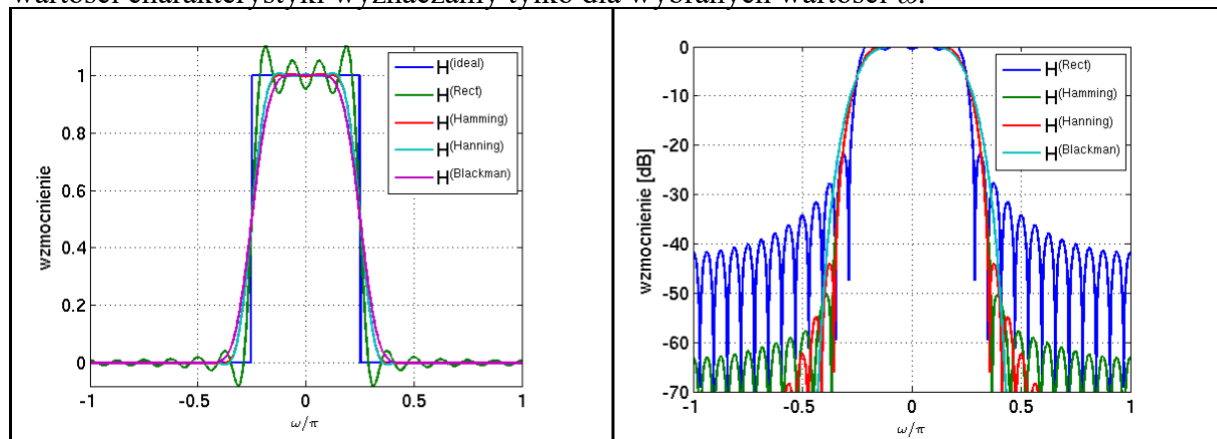
```

legend('h_{HP}^{(rect)}','h_{HP}^{(hamming)}')

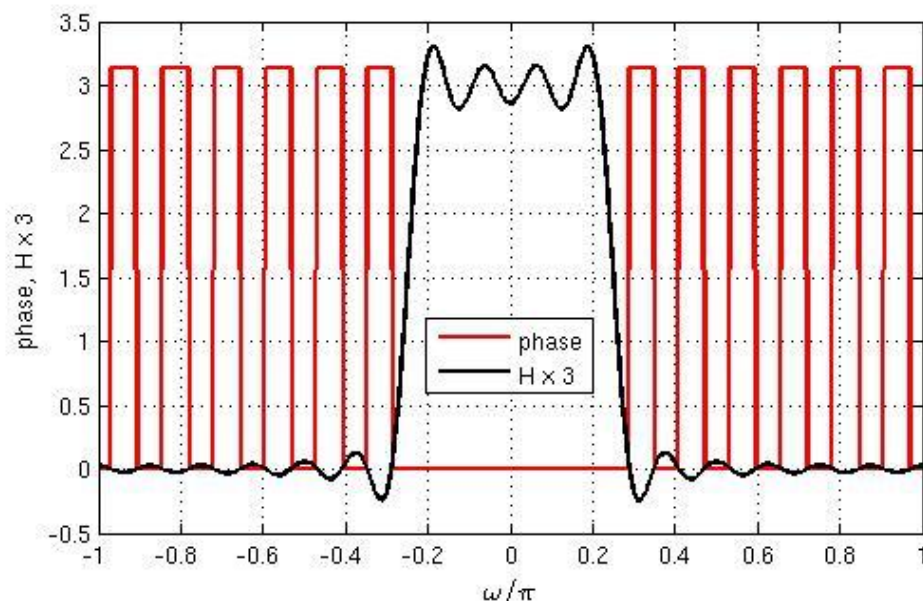
```

**Z3a.** Korzystając ze wzoru  $H(e^{j\omega}) = \sum_{n=-N}^N h(n)e^{-j\omega n}$ ,

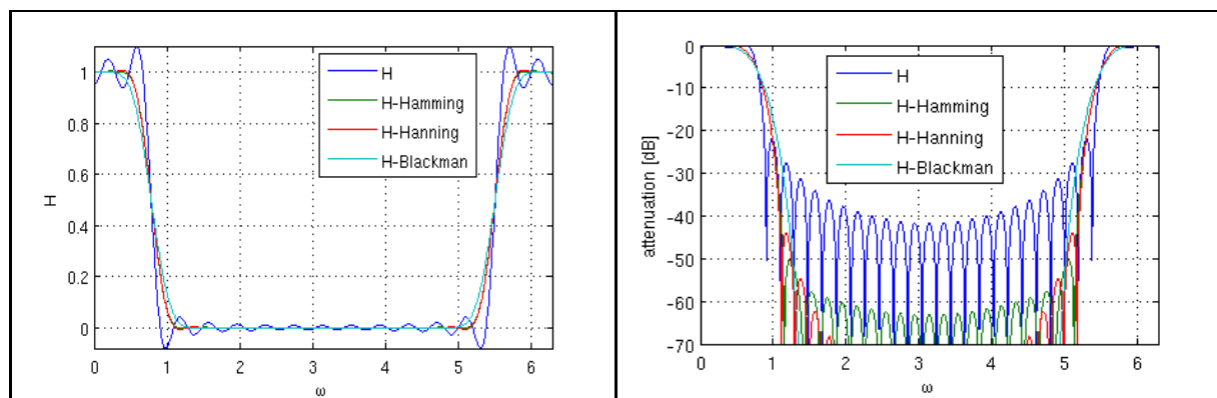
wyznaczyć ch-kę częstotliwościową filtrów z poprzedniego zadania dla różnych funkcji okien, przy  $N=15$ . Uwaga: zmienna  $\omega$  jest ciągła, więc w przypadku realizacji komputerowej wartości charakterystyki wyznaczamy tylko dla wybranych wartości  $\omega$ .



Ponieważ wyznaczana funkcja  $H(e^{j\omega})$  jest zespolona, to zwykle przedstawia się jej przebieg w postaci dwóch wykresów: modułu *abs*, zwanego ch-ką amplitudową, i argumentu *angle*, zwanego ch-ka fazową. Ch-kę amplitudową zwykle przedstawia się stosując skalę logarymiczną dla osi Y. Poniżej pokazano charakterystykę amplitudową (bez modułu, ale przeskalowaną w wartości 3 x) oraz charakterystykę fazową.



Uwaga: zwróć uwagę i przekonaj się doświadczalnie, że funkcja  $H(e^{j\omega})$  jest okresowa.



**Kod:**

```
clc;clear all;close all;
N=15;
n=-N:N;
PI=pi;
w=linspace(-PI,PI,1000);

leng_n=size(n,2);%length(n);%
leng_w=size(w,2);%length(w);%

win_rect=rectwin(length(n));
win_hamm=hamming(length(n));
win_hann=hanning(length(n));
win_black=blackman(length(n));
wgr=pi/4;
%ujemna czeŁ>Ä†
n1=-N:(-1);
h_lp_u=sin(wgr.*n1)./(pi().*n1);
%zero
h_lp_0=wgr/pi();
%czÄ™Ł>c+
n1=1:N;
h_lp_d=sin(wgr.*n1)./(pi().*n1);

hlp=[h_lp_u,h_lp_0,h_lp_d];
%-----
xw1=linspace(-PI/pi,-0.25,333);xw2=linspace(-
0.25,0.25,333);xw3=linspace(0.25,PI/pi,334);xw=[xw1,xw2,xw3];
sqr1=zeros(1,333);sqr2=ones(1,333);sqr3=zeros(1,334);sqr=[sqr1sqr2sqr3];
plot(xw,sqr,'b');holdon

%H
for zmienna=1:leng_w
    H(zmienna) = sum(hlp.*exp(-1i*w(zmienna)*n));
end
plot(w/pi,real(H),'g');gridon;

%%rect
hlp_rect=hlp'.*win_rect;
%H_rect=[];
for zmienna1=1:leng_w
    H_rect(zmienna1) = sum(hlp_rect'.*exp(-1i*w(zmienna1)*n));
end
plot(w/pi,real(H_rect),'g');gridon;holdon

%%hamming
hlp_hamm=hlp'.*win_hamm;
for zmienna2=1:leng_w
    H_hamm(zmienna2) = sum(hlp_hamm'.*exp(-1j*w(zmienna2)*n));
end
plot(w/pi,real(H_hamm),'r');gridon;holdon

%%hanning
hlp_hann=hlp'.*win_hann;
for zmienna3=1:leng_w
    H_hann(zmienna3) = sum(hlp_hann'.*exp(-1j*w(zmienna3)*n));
end
plot(w/pi,real(H_hann),'c');gridon;holdon

%%blackmann
hlp_black=hlp'.*win_black;
for zmienna4=1:leng_w
    H_black(zmienna4) = sum(hlp_black'.*exp(-1j*w(zmienna4)*n));
end
plot(w/pi,real(H_black),'m');gridon;holdon
```

```

xlabel('\omega/\pi')
ylabel('wzmocnienie')
legend('H^{ideal}','H^{(Rect)}','H^{(Hamming)}','H^{(Hanning)}','H^{(Blackman)}')

%%pozostał, e wykresy
figure(2)%skara logarytmiczna osi y
plot(w/pi,20*log10(abs(H_rect)), 'b');grid on;hold on;%okno prostokątne
plot(w/pi,20*log10(abs(H_hamm)), 'g');grid on;hold on;%okno Hamminga
plot(w/pi,20*log10(abs(H_hann)), 'r');grid on;hold on;%okno Hanninga
plot(w/pi,20*log10(abs(H_black)), 'c');grid on;hold on;%okno Blackmana
axis([-1 1 -70 0] )
xlabel('\omega/\pi')
ylabel('wzmocnienie [dB]')
legend('H^{(Rect)}','H^{(Hamming)}','H^{(Hanning)}','H^{(Blackman)}')

%phase
figure(3)
plot(w/pi,3*real(H), 'k', 'LineWidth',1.2);grid on;hold on%H*3
plot(w/pi,angle(real(H)), 'r');
xlabel('\omega/\pi')
ylabel('phase, H x 3')
legend('H x 3','phase')

%okresowość funkcji - sprawdzenie doświadczone
w1=linspace(0,2*pi,1000);
for zmo=1:leng_w
    H_w1(zmo)= sum(hlp.*exp(-1i*w1(zmo)*n));
    H_hamm1(zmo) = sum(hlp_hamm'.*exp(-1j*w1(zmo)*n));
    H_hann1(zmo) = sum(hlp_hann'.*exp(-1j*w1(zmo)*n));
    H_black1(zmo) = sum(hlp_black'.*exp(-1j*w1(zmo)*n));
end
figure(4)
plot(w1,real(H_w1), 'b');grid on;hold on;
plot(w1,real(H_hamm1), 'g')%okno hamminga
plot(w1,real(H_hann1), 'r')%okno Hanninga
plot(w1,real(H_black1), 'c')%okno blackmanna
axis([0 2*pi -0.1 1.1])
xlabel('\omega')
ylabel('H')
legend('H','H^{(Hamming)}','H^{(Hanning)}','H^{(Blackman)}')

figure(5) %skala logarytmiczna osi y
plot(w1,20*log10(abs(H_w1)), 'b');grid on;hold on;%okno prostokątne
plot(w1,20*log10(abs(H_hamm1)), 'g');grid on;hold on;%okno Hamminga
plot(w1,20*log10(abs(H_hann1)), 'r');grid on;hold on;%okno Hanninga
plot(w1,20*log10(abs(H_black1)), 'c');grid on;hold on;%okno Blackmana
axis([0 2*pi -70 0] )
xlabel('\omega')
ylabel('wzmocnienie [dB]')
legend('H','H^{(Hamming)}','H^{(Hanning)}','H^{(Blackman)}')

%-----
%% Filtr gładkoprzepustowy

N=15;
n=-N:N;
wgr_g=pi()/8;
w=linspace(-pi,pi,1000);

leng_n=size(n,2);%length(n);%
leng_w=size(w,2);%length(w);%
%ujemna część
n2=-N:(-1);
h_hp_u=(-sin(wgr_g*n2))./(pi*n2);
%zero

```

```

h_hp_0=1-(wgr_g/pi);
%czł<+
n2=1:N;
h_hp_d=(-sin(wgr_g*n2))./(pi*n2);

hhp=[h_hp_u,h_hp_0,h_hp_d];

hhp_rect=hhp'.*win_rect;
hhp_hamm=hhp'.*win_hamm;
hhp_hann=hhp'.*win_hann;
hhp_black=hhp'.*win_black;

for i=1:leng_w
    H_ideal_hp(i)=sum(hhp.*exp(-1i*w(i)*n));
    H_rect_hp(i)=sum(hhp_rect'.*exp(-1i*w(i)*n));
    H_hamm_hp(i)=sum(hhp_hamm'.*exp(-1i*w(i)*n));
    H_hann_hp(i)=sum(hhp_hann'.*exp(-1i*w(i)*n));
    H_black_hp(i)=sum(hhp_black'.*exp(-1i*w(i)*n));
end

figure(6)
plot(w/pi,real(H_wl),'b');grid on;hold on;
plot(w/pi,real(H_rect_hp),'g')%okno prostok...tne
plot(w/pi,real(H_hamm_hp),'r')%okno hamminga
plot(w/pi,real(H_hann_hp),'c')%okno Hanninga
plot(w/pi,real(H_black_hp),'m')%okno blackmanna
%axis([0 2*pi -0.1 1.1])
xlabel('\omega')
ylabel('H')
legend('H^{(Ideal)}','H^{(Rect)}','H^{(Hamming)}','H^{(Hanning)}','H^{(Blackman)}')

figure(7) %skala logarytmiczna osi y
plot(w/pi,20*log10(abs(H_rect_hp)), 'b');grid on;hold on;%okno prostok...tne
plot(w/pi,20*log10(abs(H_hamm_hp)), 'g');grid on;hold on;%okno Hamminga
plot(w/pi,20*log10(abs(H_hann_hp)), 'r');grid on;hold on;%okno Hanninga
plot(w/pi,20*log10(abs(H_black_hp)), 'c');grid on;hold on;%okno Blackmana
%axis([0 2*pi -70 0])
xlabel('\omega')
ylabel('wzmocnienie [dB]')
legend('H','H^{(Hamming)}','H^{(Hanning)}','H^{(Blackman)}')

figure(8)%faza
plot(w/pi,3*real(H_ideal_hp),'k','LineWidth',1.2);grid on;hold on%H*3
plot(w/pi,angle(real(H_ideal_hp)), 'r');
xlabel('\omega/\pi')
ylabel('phase, H x 3')
legend('H x 3','phase')

```

**Z3b.** Wyznaczyć ch-kę częstotliwościową filtrów z poprzedniego zadania dla różnych funkcji okien używając funkcji *freqz*. Uwaga: funkcja *freqz* wyznacza ch-kę filtru przyczynowego tzn. korzysta ze wzoru

$$H_P(e^{j\omega}) = \sum_{n=0}^{L-1} h_P(n) e^{-j\omega n}$$

gdzie  $L = 2N+1$  jest długością odpowiedzi impulsowej  $h_P(n) = h(n-N)$ . Wywołanie  $[H_P, W] = \text{freqz}(h)$  zwraca wektor próbek charakterystyki częstotliwościowej  $H_P$  oraz wektor wartości częstotliwości  $W$ , w których charakterystyka ta została wyliczona. Wywołanie *freqz(h)*, z pominięciem argumentów wynikowych  $H_P$  i  $W$ , rysuje charakterystykę amplitudową i fazową. Charakterystyki obliczone przez funkcję *freqz* należy porównać z wynikami z punktu 3a. Następnie należy je skorygować (wektor  $H_P$ ), tak by uzyskać charakterystykę filtru nieprzyczynowego tj.  $H$  tak jak w zadaniu 3a.

$$H_P(e^{j\omega}) = \sum_{n=0}^{2N} h_p(n) e^{-j\omega n} = \sum_{n=0}^{2N} h(n-N) e^{-j\omega n} = \sum_{n=-N}^N h(n) e^{-j\omega(n+N)} = e^{-j\omega N} H(e^{j\omega}).$$

**Kod:**

```
%% %Zadanie 3b
N=15;
n=-N:N;
w=linspace(-pi,pi,1000);
leng_w=length(w);
%okna
win_rect=rectwin(length(n));
win_hamm=hamming(length(n));
win_hann=hanning(length(n));
win_black=blackman(length(n));

%Filtr dolnoprzepustowy
wgr=pi/4;
%ujemna cześć
n1=-N:(-1);
h_lp_u=sin(wgr.*n1)./(pi().*n1);
%zero
h_lp_0=wgr/pi();
%czyść dodatnia
n1=1:N;
h_lp_d=sin(wgr.*n1)./(pi().*n1);

hlp=[h_lp_u,h_lp_0,h_lp_d];

%okna
hlp_rect=hlp'.*win_rect;
hlp_hamm=hlp'.*win_hamm;
hlp_hann=hlp'.*win_hann;
hlp_black=hlp'.*win_black;

for i=1:leng_w
    H_lp(i)=sum(hlp.*exp(-1i*w(i)*n));
    H_rect_lp(i)=sum(hlp_rect'.*exp(-1i*w(i)*n));
    H_hamm_lp(i)=sum(hlp_hamm'.*exp(-1i*w(i)*n));
    H_hann_lp(i)=sum(hlp_hann'.*exp(-1i*w(i)*n));
    H_black_lp(i)=sum(hlp_black'.*exp(-1i*w(i)*n));
end

[hhlp,W_lp]=freqz(hlp);
figure(9)
subplot(3,1,1),plot(w/pi,20*log10(abs(H_lp)),'r');grid on; hold on;
xlabel('Charakterystyka z punktu 3a')
subplot(3,1,2),plot(W_lp/pi,20*log10(abs(hhlp)),'k');grid on
h_lp2=H_lp.*exp(-1j*w*N);
xlabel('Freqz')
subplot(3,1,3),plot(w/pi,20*log10(abs(h_lp2)),'b');grid on;
xlabel('Charakterystyka filtru po korekcje')

%okno hamminga
figure(10)
[h_hamm_lpp,W_hamm_lp]=freqz(H_hamm_lp);
subplot(3,1,1),plot(w/pi,20*log10(abs(H_hamm_lp)),'r');grid on; hold on;
xlabel('Charakterystyka z punktu 3a')
subplot(3,1,2),plot(W_hamm_lp/pi,20*log10(abs(h_hamm_lpp)),'k');grid on
h_lp22=H_hamm_lp.*exp(-1j*w*N);
xlabel('Freqz')
subplot(3,1,3),plot(w/pi,20*log10(abs(h_lp22)),'b');grid on;
xlabel('Charakterystyka filtru po korekcje')
title('Okno hamminga')
```



```

%filtr gÅłrnpzepustowy
N=15;
n=-N:N;
wgr_g=pi()/8;
w=linspace(-pi,pi,1000);

leng_n=size(n,2);%length(n);%
leng_w=size(w,2);%length(w);%
%ujemna czeŁ>Ä+
n2=-N:(-1);
h_hp_u=(-sin(wgr_g*n2))./(pi*n2);
%zero
h_hp_0=1-(wgr_g/pi);
%czÄ™Ł>c+
n2=1:N;
h_hp_d=(-sin(wgr_g*n2))./(pi*n2);

hhp=[h_hp_u,h_hp_0,h_hp_d];

hhp_rect=hhp'.*win_rect;
hhp_hamm=hhp'.*win_hamm;
hhp_hann=hhp'.*win_hann;
hhp_black=hhp'.*win_black;

for i=1:leng_w
    H_ideal_hp(i)=sum(hhp.*exp(-1i*w(i)*n));
    H_rect_hp(i)=sum(hhp_rect'.*exp(-1i*w(i)*n));
    H_hamm_hp(i)=sum(hhp_hamm'.*exp(-1i*w(i)*n));
    H_hann_hp(i)=sum(hhp_hann'.*exp(-1i*w(i)*n));
    H_black_hp(i)=sum(hhp_black'.*exp(-1i*w(i)*n));
end
[hhhp,W_hp]=freqz(hhp);
figure(11)
subplot(3,1,1),plot(w/pi,20*log10(abs(H_ideal_hp)),'r');grid on; hold on;
xlabel('Charakterystyka z punktu 3a')
subplot(3,1,2),plot(W_hp/pi,20*log10(abs(hhhp)),'k');grid on
h_hp2=H_ideal_hp.*exp(-1j*w*N);
xlabel('Freqz')
subplot(3,1,3),plot(w/pi,20*log10(abs(h_hp2)),'b');grid on;
xlabel('Charakterystyka filtru po korekcje')

figure(12)
%okno hamminga

[h_hamm_hpp,W_hamm_hp]=freqz(H_hamm_hp);

subplot(3,1,1),plot(w/pi,20*log10(abs(H_hamm_hp)),'r');grid on; hold on;
xlabel('Charakterystyka z punktu 3a')
subplot(3,1,2),plot(W_hamm_hp/pi,20*log10(abs(h_hamm_hpp)),'k');grid on
h_hp22=H_hamm_hp.*exp(-1j*w*N);
xlabel('Freqz')
subplot(3,1,3),plot(w/pi,20*log10(abs(h_hp22)),'b');grid on;
xlabel('Charakterystyka filtru po korekcje')
title('Okno hamminga')

```

**Z4.** Zaprojektować cyfrowy filtr dolnoprzepustowy o częstotliwości granicznej  $f_0 = 150$  Hz, przy częstotliwości próbkowania  $f_p = 1000$  Hz. Narysować ch-kę amplitudową. Sprawdzić działanie zaprojektowanego filtru poprzez filtrację sygnału złożonego z dwóch sinusoid o częstotliwościach  $f_1 = 100$  Hz i  $f_2 = 250$  Hz.

```

%clc;clear all;close all;
f0=150;

```

```

fp=1000;wp=2*pi*fp;
f1=100;w1=2*pi*f1;
f2=250;w2=2*pi*f2;
w=linspace(-pi,pi,fp);

leng_w=size(w,2)
w0=(f0/fp)*2*pi;
N=15;
n=-N:N;
%ujemna czeŁŁ>Ä†
n1=-N:(-1);
h_lp_u=sin(w0*n1)./(pi()*n1);
%zero
h_lp_0=w0/pi();
%CzÄ™ŁŁ>C+
n1=1:N;
h_lp_d=sin(w0*n1)./(pi()*n1);

hlp=[h_lp_u,h_lp_0,h_lp_d];

%stem(n,hlp,'r');grid on
Np=100;
t=(0:1/fp:Np-1)/fp;
sin1=sin(w1*t);
sin2=sin(w2*t);
sin_sum=sin1+sin2;

figure(13)
subplot(3,1,1),plot(t,sin1);grid on
xlabel('sinus f1')
subplot(3,1,2),plot(t,sin2);grid on
xlabel('sinus f2')
subplot(3,1,3),plot(t,sin_sum);grid on
xlabel('suma sinusŰw')

figure(14)
for zmienna=1:leng_w
    H4(zmienna) = sum(hlp.*exp(-1i*w(zmienna)*n));
end
plot(w/pi,real(H4),'g');grid on;hold on
figure(15)
[HZ4,W]=freqz(hlp);
plot(W/pi,20*log10(abs(HZ4)));grid on

fil=filter(H4,1,sin_sum);
figure(16)
plot(t,fil);grid on;

```

**Z5a.** Korzystając z metody okien wyznaczyć (analitycznie) odpowiedź impulsową idealnego filtra pasmowo-przepustowego  $h_{BP}(n)$ , a następnie obciąć ją wybranym oknem uzyskując  $h_{BP}^W(n)$ . Charakterystyka częstotliwościowa  $H_{BP}(e^{j\omega})$  filtra idealnego pokazana jest poniżej.

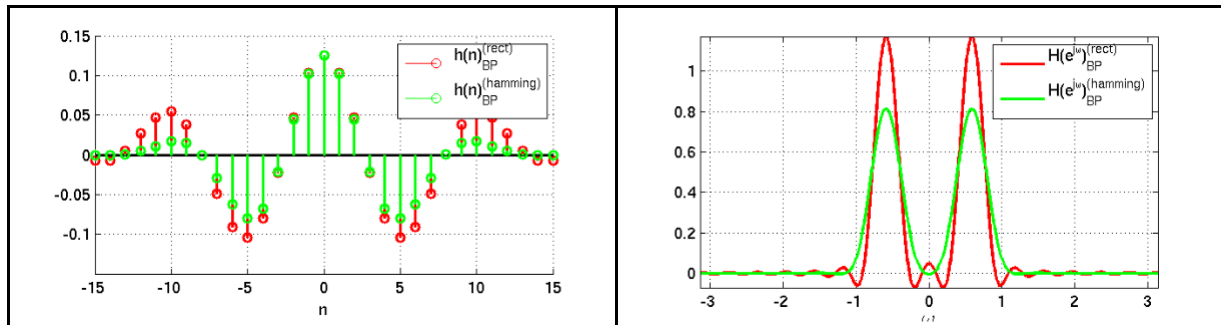
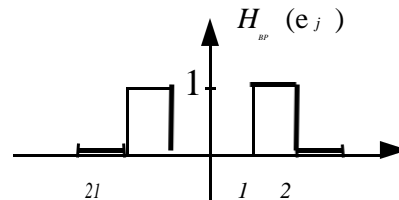
Napisać skrypt w Matlabie rysujący odpowiedź impulsową (funkcja *stem*) oraz charakterystykę częstotliwościową zaprojektowanego filtra. Przykładowa charakterystyka częstotliwościowa filtra z oknem prostokątnym i oknem Hamminga dla  $N=15$ ,  $\omega_1=\pi/8$ ,  $\omega_2=\pi/4$ , poniżej.

**Uwaga:** do realizacji tego zadania można wykorzystać wynik zadania 2.

$$h_{BP}(n) = \frac{1}{2\pi} \int_{-\pi}^{\pi} H_{BP}(e^{j\omega}) e^{j\omega n} d\omega,$$

$$h_{BP}^W(n) = w(n)h_{BP}(n)$$

$$-N \leq n \leq N$$



**Kod:**

```
N=15;
w1=pi/8;
w2=pi/4;
w=linspace(-pi,pi,1000);
n=-N:N;

n1=-N:-1;
h_bsU=((sin(w2.*n1)-sin(w1*n1))./(pi*n1));

h_bs0=(w2-w1)/pi;
n1=1:N;
h_bsD=(sin(w2.*n1)-sin(w1*n1))./(pi*n1);

h_bs=[h_bsU,h_bs0,h_bsD];

win_hamm=hamming(length(n));

%h_bp_rect=h_bp'.*rectwin(length(n));
h_bs_hamm=h_bs'.*win_hamm;

for i=1:length(w)

    H(i)=sum(h_bs.*exp(-1j*w(i)*n));
    H_bs_hamm(i)=sum(h_bs_hamm'.*exp(-1j*w(i)*n));
end

figure(1)
stem(n,h_bs,'r');grid on;hold on;
stem(n,h_bs_hamm,'g');
legend('h(n)_{BP}^{(rect)}','h(n)_{BP}^{(hamming)}')
```

```

xlabel('n')

figure(2)
plot(w/pi,real(H),'r');grid on;hold on;
plot(w/pi,real(H_bs_hamm),'g');
legend('H(e^{j\omega})_{BP}^{(rect)}','H(e^{j\omega})_{BP}^{(hamming)}')
xlabel('\omega/\pi')

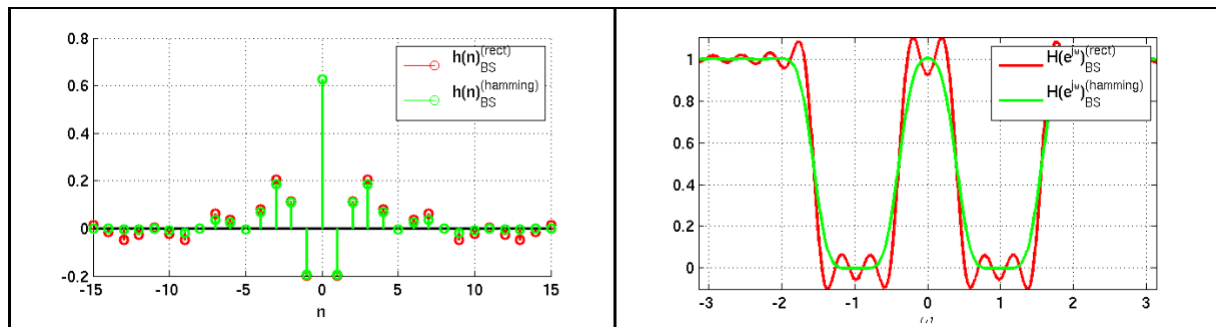
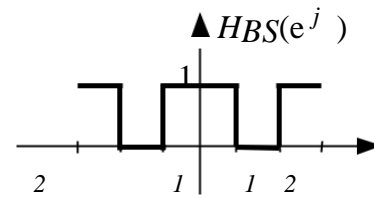
```

**Z5b.** Korzystając z metody okien wyznaczyć (analitycznie) odpowiedź impulsową idealnego filtru pasmowo-zaporowego  $h_{BS}(n)$ , a następnie obciąć ją wybranym oknem uzyskując  $h_{BS}^W(n)$ . Charakterystyka częstotliwościowa  $H_{BS}(e^{j\omega})$  filtra idealnego pokazana jest poniżej. Napisać skrypt w Matlabie rysujący odpowiedź impulsową oraz charakterystykę częstotliwościową zaprojektowanego filtra. Przykładowa charakterystyka częstotliwościowa filtru z oknem prostokątnym i oknem Hamminga dla  $N=15$ ,  $\omega_1=\pi/8$ ,  $\omega_2=\pi/2$ , poniżej.

**Uwaga:** do realizacji tego zadania można wykorzystać wynik zadania 2.

$$h_{BS}(n) = \frac{1}{2\pi} \int_{-\pi}^{\pi} H_{BS}(e^{j\omega}) e^{j\omega n} d\omega$$

$$h_{BS}^W(n) = w(n)h_{BS}(n)$$



**Kod:**

```

N=15;
w1=pi/8;
w2=pi/2;
w=linspace(-pi,pi,1000);
n=-N:N;

n1=-N:-1;
h_bsU=((sin(w1.*n1)-sin(w2*n1))./(pi*n1));

h_bs0=1+(w1-w2)/pi;
n1=1:N;
h_bsD=(sin(w1.*n1)-sin(w2*n1))./(pi*n1);

h_bs=[h_bsU,h_bs0,h_bsD];

win_hamm=hamming(length(n));

%h_bp_rect=h_bp'.*rectwin(length(n));
h_bs_hamm=h_bs'.*win_hamm;

for i=1:length(w)

    H(i)=sum(h_bs.*exp(-1j*w(i)*n));
    H_bs_hamm(i)=sum(h_bs_hamm'.*exp(-1j*w(i)*n));
end

figure(1)
stem(n,h_bs,'r');grid on;hold on;
stem(n,h_bs_hamm,'g');
legend('h(n)_{BP}^{(rect)}','h(n)_{BP}^{(hamming)}')
xlabel('n')

figure(2)
plot(w,real(H),'r');grid on;hold on;
plot(w,real(H_bs_hamm),'g');
legend('H(e^{j\omega})_{BS}^{(rect)}','H(e^{j\omega})_{BS}^{(hamming)}')
xlabel('\omega')

```

**Z6.** Korzystając z funkcji: *fir1* oraz *kaiserord* i *kaiser* pakietu Matlab zaprojektować następujące filtry z oknem Kaisera:

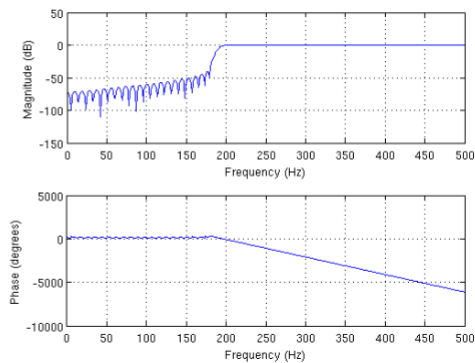
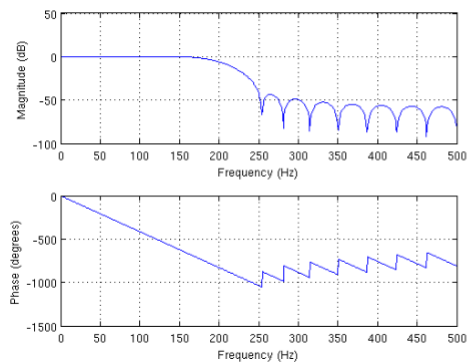
a) dolnoprzepustowy: pasmo przenoszenia do 150 Hz, nierównomierność w paśmie przenoszenia poniżej 0.05, minimalne tłumienie w paśmie zaporowym 40dB dla 250 Hz, częstotliwości próbkowania  $f_p = 1000\text{Hz}$ ;

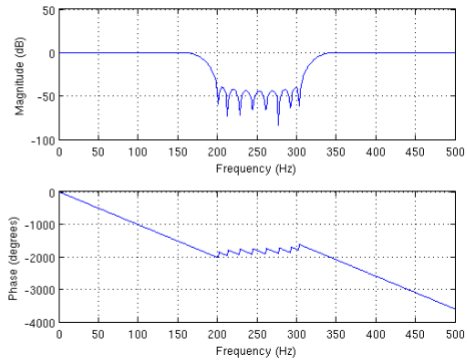
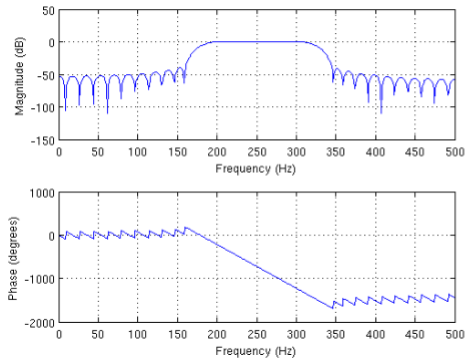
b) górnoprzepustowy: częstotliwość graniczna pasma przenoszenia  $f_g = 180\text{ Hz}$ , nierównomierność w paśmie przenoszenia poniżej 0.05, minimalne tłumienie w paśmie zaporowym 40dB dla 200 Hz, częstotliwości próbkowania  $f_p = 1000\text{Hz}$ ;

c) pasmowo-przepustowy: zakres częstotliwości pasma przepustowego 200 Hz do 300 Hz, nierównomierność 0.05, częstotliwości pasma zaporowego to: 160 Hz i 350 Hz. Minimalne tłumienie dla podanych częstotliwości to 40dB;

d) pasmowo-zaporowy: zakres częstotliwości pasma zaporowego 200 Hz do 300 Hz. Minimalne tłumienie dla podanych częstotliwości to 40dB. Granice pasma przepustowego to: 160 Hz i 350 Hz. Nierównomierność ch-ki częstotliwościowej w paśmie przepustowym to 0.05;

Narysować charakterystyki częstotliwościowe uzyskanych filtrów. Sprawdzić, czy zaprojektowane filtry spełniają wymagania projektowe.





```

fp=1000;

f_mag = [150 250];
a = [1 0];
odch = [0.05 0.01]; %0.01-> 20log10(0.01) =-40dB

[n,Wn,beta,ftype] = kaiserord(f_mag,a,odch,fp);
win_kai_LP=kaiser(n+1,beta);
h_LP = fir1(n,Wn,ftype,win_kai_LP,'noscale');

figure(1)
freqz(h_LP,1,1024,fp);grid on;

%-----
%głównoprzepustowy
fp=1000;

f_mag = [180 200];
a = [0 1];
odch = [0.05 0.01]; %0.01-> 20log10(0.01) =-40dB

[n,Wn,beta,ftype] = kaiserord(f_mag,a,odch,fp);
win_kai_HP=kaiser(n+1,beta);
h_HP = fir1(n,Wn,ftype,win_kai_HP,'noscale');

figure(2)
freqz(h_HP,1,1024,fp);grid on
%-----
%pasmo-wyprzepustowy

fp=1000;

f_mag = [160 200 300 350];
a = [0 1 0];
odch = [0.01 0.05 0.01]; %0.01-> 20log10(0.01) =-40dB

[n,Wn,beta,ftype] = kaiserord(f_mag,a,odch,fp);
win_kai_BP=kaiser(n+1,beta);
h_BP = fir1(n,Wn,ftype,win_kai_BP,'noscale');

figure(3)
freqz(h_BP,1,1024,fp);grid on

%-----
%Pasmowow-zaporowy
fp=1000;

f_mag = [160 200 300 350];
a = [1 0 1];

```

```
odch = [0.05 0.01 0.05]; %0.01-> 20log10(0.01) = -40dB
```

```
[n,Wn,beta,ftype] = kaiserord(f_mag,a,odch,fp);
win_kai_BS=kaiser(n+1,beta);
h_BS = fir1(n,Wn,ftype,win_kai_BS,'noscale');
```

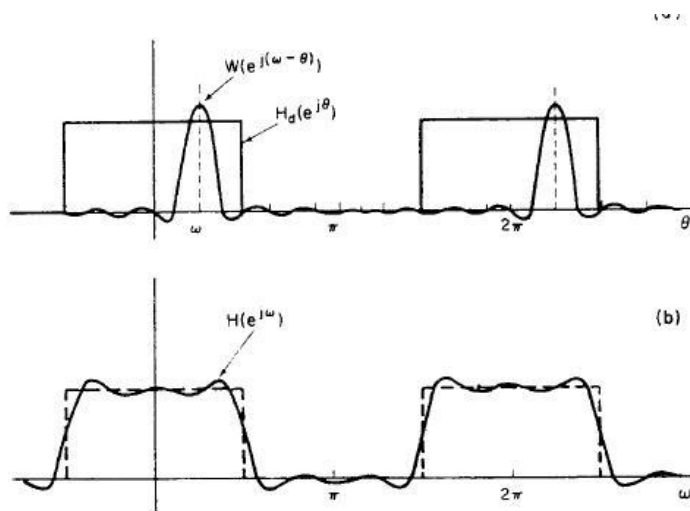
```
figure(4)
```

```
freqz(h_BS,1,1024,fp);grid on
```

## Z7. Sprawdzić numerycznie podaną zależność

$$H_w(e^{j\omega}) = \sum_{n=0}^{N-1} h(n)w(n)e^{-j\omega n} = \frac{1}{2\pi} \int_{-\pi}^{\pi} H(e^{j\Omega})W(e^{j(\omega-\Omega)})d\Omega$$

Zależność ta wiąże widmo filtra o odpowiedzi impulsowej  $h(n)$  obciętej oknem  $w(n)$  z widmem filtra idealnego (nie obciętego) i widmem okna.





### Strasznie niepewne

**Z1.** Zaprojektować filtr silnie wzmacniający sygnał o częstotliwość  $\omega_0 = \pi/4$ . Zrobić rysunek pokazujący rozmieszczenie zer i biegunów transmitancji filtra. Zapisać transmitancję filtra korzystając z ogólnej jej postaci, gdzie  $d_k$  są biegunami, zaś  $c_k$  zerami transmitancji:

$$H(z) = K \frac{\prod_{k=1}^N (1 - c_k z^{-1})}{\prod_{k=1}^M (1 - d_k z^{-1})} = z^{-N+M} K \frac{\prod_{k=1}^N (z - c_k)}{\prod_{k=1}^M (z - d_k)},$$

Przydatne funkcje Matlaba to: *poly* oraz *conj*. Korzystając z funkcji *freqz* wyznaczyć ch-kę częstotliwościową zaprojektowanego filtra. Następnie korzystając z funkcji *filter* wyznaczyć odpowiedź impulsową zaprojektowanego filtra (odpowiedź na pobudzenie sygnałem o postaci  $d = [1, 0, 0, \dots]$ ). W rozwiązaniu wykorzystać funkcję *poly*.

**Uwaga:** funkcja *poly* jako argument otrzymuje wektor miejsc zerowych wielomianu i zwraca jego współczynniki, np. *poly*([1, 2]) zwraca [1, -3, 2], tj.  $(z-1)(z-2) = 1 \cdot z^2 - 3 \cdot z + 2$ .

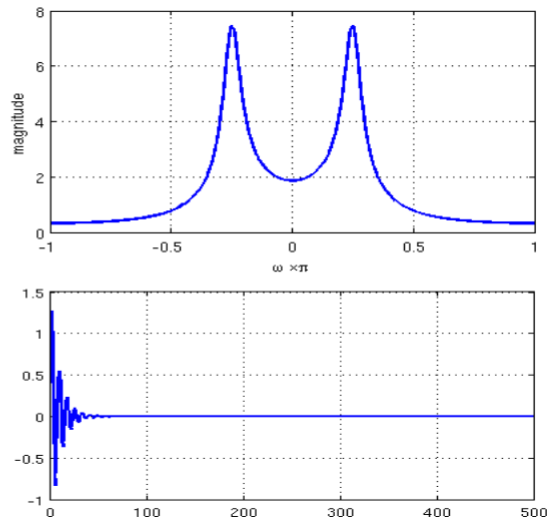
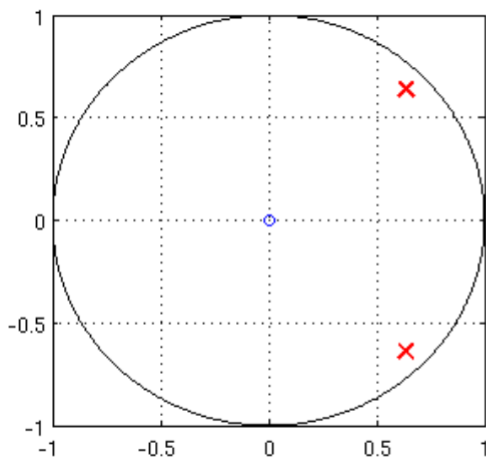
W algorytmach przetwarzania sygnałów stosowane są wielomiany zmiennej  $z^{-1}$ . Zauważmy, że elementy wektora [1, 2] są również miejscami zerowymi wielomianu zmiennej  $z^{-1}$ :

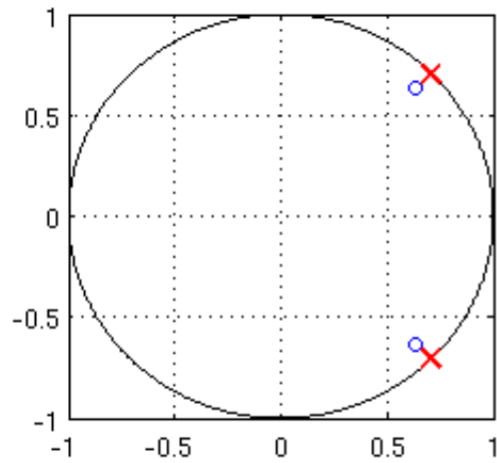
$$(1 - 1 \cdot z^{-1})(1 - 2 \cdot z^{-1}) = 1 - 3 \cdot z^{-1} + 2 \cdot z^{-2}$$

Dlatego funkcję *poly* można bezpośrednio wykorzystać do wyznaczania współczynników transmitancji układu, które mogą być użyte przez np. funkcję *filter*(B, A, x), która stosuje następującą notację dla współczynników  $b$  i  $a$ :

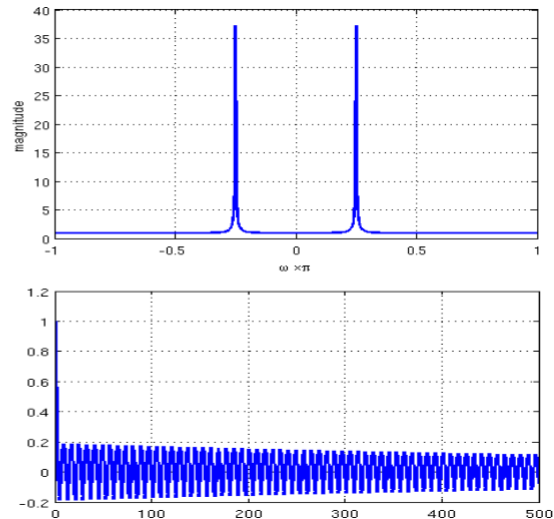
$$\begin{aligned} a(1)*y(n) &= b(1)*x(n) + b(2)*x(n-1) + \dots + \\ &\quad b(Nb+1)*x(n-Nb) \\ &\quad - a(2)*y(n-1) - \dots - a(Na+1)*y(n-Na), \end{aligned}$$

tj. współczynnik wielomianu  $A(z^{-1})$  lub  $B(z^{-1})$  przy  $z^{-n}$  jest na  $(n+1)$  miejscu wektora  $A$  lub  $B$ .





o – zero, x – biegun



Zauważ, że:  $(1 - d_1 z^{-1})(1 - d_2 z^{-1}) = z^{-2} (z - d_1)(z - d_2) = \frac{(z - d_1)(z - d_2)}{z^2}$ .

W oparciu o powyższe spostrzeżenie, wytłumacz obecność podwójnego zera w transmitancji filtru pierwszego.

Kod: (sam nw)

clear; clc; close all;

%--Zadanie 1

d=[1,zeros([1 499])]; %sygnał, impulsowy

w0=pi/4;

w=linspace(-pi,pi,1000);

rp=0.99;

p1=rp\*exp(j\*w0);

rz=0.9;

z1=rz\*exp(j\*w0);

P=poly([p1 conj(p1)]); %mianownik- bieguny

Z=poly([z1 conj(z1)]); %licznik- zera

figure(1)

plot(real(z1), imag(z1), 'go'); hold on; grid on;

plot(real(conj(z1)), imag(conj(z1)), 'go');

plot(real(p1), imag(p1), 'rx');

plot(real(conj(p1)), imag(conj(p1)), 'rx');

plot(real(exp(j\*w)), imag(exp(j\*w)), 'b');

figure(2);

[h,w]=freqz(Z,P);

plot(w/pi,h)

grid on; xlabel('\omega x \pi'); ylabel('Wzmocnienie');

y=filter(Z,P,d);

figure(3);

plot(y)

grid on;

**Z2.** Korzystając z funkcji *polyval* oraz poniższego wzoru wyznaczyć ch-ki częstotliwościowe filtrów z poprzedniego zadania. Porównać uzyskane wyniki z wynikiem funkcji *freqz*.

$$H(z) = \frac{b_0 + b_1 z^{-1} + \dots + b_{M-1} z^{-(M-1)}}{a_0 + a_1 z^{-1} + \dots + a_{N-1} z^{-(N-1)}}, \quad H(e^{j\omega}) = \frac{b_0 + b_1 e^{-j\omega} + \dots + b_{M-1} e^{-j\omega(M-1)}}{a_0 + a_1 e^{-j\omega} + \dots + a_{N-1} e^{-j\omega(N-1)}},$$

przy czym  $a_0=1$ .

M-1

$$y(n) = \sum_{k=0} b(k)x(n-k) - \sum_{k=1} a(k)y(n-k)$$

**Uwaga:** funkcja *freqz*(B, A) wyznacza wartość  $H(z) = B(z)/A(z)$  dla  $z$  leżących na okręgu jednostkowym ( $z = e^{j\omega}$ ). Współczynniki wielomianów  $B(z)$  i  $A(z)$  uporządkowane są w następujący sposób:  $B=[b_0, b_1, b_2, \dots]$ ,  $A=[a_0, a_1, a_2, \dots]$ .

Funkcja  $Y = \text{polyval}(P, X)$  wyznacza wartość wielomianu o współczynnikach zadanych wektorem  $P=[p_0, p_1, p_2, \dots]$ , dla wartości podanych w wektorze  $X$ , tj.

$$Y = p_0 x^N + p_1 x^{N-1} + \dots + p_{N-1}$$

Wykorzystanie funkcji *polyval* do wyznaczania ch-ki częstotliwościowej układu wymaga: (1) odwrócenia kolejności elementów wektorów zawierających współczynniki transmitancji układu (funkcja *fliplr*), (2) wyznaczenia wartości wielomianu dla  $x = e^{-j\omega}$ , przy  $\omega$  zmieniającym się w zakresie od  $-\pi$  do  $\pi$ .

```
clear; clc; close all;
```

```
%--Zadanie 1
d=[1,zeros([1 499])]; %sygnał, impulsowy
w0=pi/4;
w=linspace(-pi,pi,1000);
rp=0.99;
p1=rp*exp(j*w0);
rz=0.9;
z1=rz*exp(j*w0);
P=poly([p1 conj(p1)]); %mianownik- bieguny
Z=poly([z1 conj(z1)]); %licznik- zera
```

```
figure(1)
plot(real(z1), imag(z1), 'go'); hold on; grid on;
plot(real(conj(z1)), imag(conj(z1)), 'go');
plot(real(p1), imag(p1), 'rx');
plot(real(conj(p1)), imag(conj(p1)), 'rx');
plot(real(exp(j*w)), imag(exp(j*w)), 'b');
```

```
figure(2);
[h,w]=freqz(Z,P);
plot(w/pi,h)
grid on; xlabel('\omega x \pi'); ylabel('Wzmocnienie');
```

```
y=filter(Z,P,d);
figure(3);
plot(y)
grid on;
```

```
%--Zadanie 2
x=exp(-j*w);
B=polyval(fliplr(Z),x);
A=polyval(fliplr(P),x);
H=B./A;
figure(4);
plot(w/pi,H); grid on;
```

**Z3.** Zaprojektować filtr silnie tłumiący sygnał (tzw. notch) o częstotliwość  $f_0 = 990\text{Hz}$ , częstotliwość próbkowania  $8000\text{Hz}$ . Zrobić rysunek pokazujący rozmieszczenie zer i ewentualnych biegunów transmitancji filtra. Wyznaczyć odpowiedź impulsową zaprojektowanego filtra.

Kod:

```
clc; close all ; clear all ;
```

```

f0 = 990;
fp = 8000;
sb = [f0-1 f0+1]*2*(1/fp); % stopband
pb = [f0-5 f0+5]*2*(1/fp); % passband
pr = 0.1; % passripples
sr = 60; % stopripples

[N, Wn] = ellipord(pb, sb, pr, sr);
[b, a] = ellip(N, pr, sr, Wn, 'stop');

figure(1)
freqz(b,a)
title('Freqz plot')

t = linspace(0,2*pi,200);
r = 1;
x = r*cos(t);
y = r*sin(t);
%PT: w = linspace(0,2*pi,200); plot(exp(j*w))

figure(2)
plot(x, y, '.b')
grid on;
hold on;

[zeros, poles, gain] = ellip(N, pr, sr, Wn, 'stop');
plot(poles, 'xr')
hold on;
plot(zeros, 'ob')
title('Zero-pole plot')

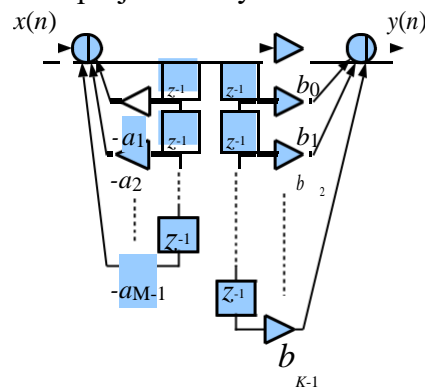
```

**Z4.** Wyznaczyć zera i bieguny układu dyskretnego o poniższej transmitancji. Czy układ jest stabilny ?

$$H(z) = \frac{(z^{-1} - j)(z^{-1} + j)}{(z^{-1} + 0.5 - 0.5j)(z^{-1} + 0.5 + 0.5j)}$$

```
%Wyznaczenie zer i biegunow z transmitancji
L1 = [-1i 1]; L2 = [1i 1]; L = L1.*L2; %nie wiem czy współczynniki
%we właściwej kolejności
M1 = [(-0.5*1i+0.5) 1]; M2 = [(0.5*1i+0.5) 1]; M = M1.*M2;
[H, W] = freqz(L,M);
figure(10); zplane(L,M);
```

**Z5.** Napisać procedurę implementującą (wg poniższego schematu blokowego) filtry IIR z zadania **Z1**. Porównać jej działanie z funkcją *filter*, a następnie wykorzystać do wyznaczenia odpowiedzi impulsowych filtrów zaprojektowanych w z zadaniu **Z1**.



```
Kod:
w0=pi/4;
w=linspace(-pi,pi,1000);
rp=0.99;
p1=rp*exp(j*w0);
rz=0.9;
z1=rz*exp(j*w0);
P=poly([p1 conj(p1)]); %mianownik- bieguny
Z=poly([z1 conj(z1)]); %licznik- zera
x=[1, zeros([1 499])];

Nx=length(x);
M=length(P);
F=zeros(1,M-1);
K=length(Z);
D=zeros(1,K-1);
y=0;
for k=1:Nx
    y(k)=x(k)*Z(1)+sum(D.*Z(2:end))-sum(F.*P(2:end));
    D(2:end)=D(1:end-1);
    D(1)=x(k);
    F(2:end)=F(1:end-1);
    F(1)=y(k);
end
figure(8)
plot(y)
grid on; ylabel('y(n)'); xlabel('n');
y_filter=filter(Z,B,x);
e=y_filter-y;
figure(9)
stem(e)
grid on; ylabel('e(n)'); xlabel('n');
```

**Z6.** Narysować: charakterystyki częstotliwościowe i odpowiedzi impulsowe filtrów o niżej podanych transmitancjach. Następnie określić położenie miejsc zerowych licznika i mianownika transmitancji. Stwierdzić czy filtr jest stabilny, czy nie.

$$H_1(z) = \frac{1}{(1+0.5z^{-1})}, \quad H_2(z) = \frac{1}{(0.5+z^{-1})}.$$

**Kod:**

```
%--Zadanie 6
num_coef=[1]; %współczynniki transmitancji
den_coef=[0.5 1]; %(1+0.5z^-1)
figure(10);
zplane(num_coef,den_coef) %pole, oś lenia biegunów
[H,w]=freqz(num_coef,den_coef); %ch-ka częstotliwościowa
figure(11);
plot(w,H); grid on; xlabel('\omega'); ylabel('H');
d=[1,zeros([1 499])]; %sygnał, impulsowy
y=filter(num_coef,den_coef,d); %odpowiedź impulsowa
figure(12);
plot(y); grid on; title('Odp impulsowa');
zera=roots(num_coef);
bieguny=roots(den_coef);
if(abs(bieguny)<1)
    stabilnosc=1;
else stabilnosc=0;
end
```

**Z7.** Używając funkcji Matlab (buttord, butter) do projektowania filtrów IIR zaprojektować filtr pasmowo przepustowy na częstotliwości  $W_p = [700 \ 800]$ ,  $W_s = [650 \ 850]$  Hz przy częstotliwości próbkowania 2000 Hz, zafalowaniach ch-ki amplitudowej w paśmie przenoszenia  $R_p = 0.1$  dB oraz tłumienie  $R_s = 40$  dB.

**Kod:**

```
Wp=[700 800]/1000;
Ws=[650 850]/1000;
Rp=0.1;
Rs=40;
[n,Wn]=buttord(Wp,Ws,Rp,Rs);
[z,p,k]=butter(n,Wn);
sos=zp2sos(z,p,k);
figure(13)
freqz(sos,512,2000)
```

**Dyskretna transformacja Fouriera (DFT)****Z1.** Stosując algorytm dyskretnej transformacji Fouriera (DFT)

$$X(k) = \sum_{n=0}^{N-1} x(n) e^{-j \frac{2\pi}{N} k n}, \quad k=0,1,\dots,N-1,$$

wyznacz widma  $X(k)$  następujących sygnałów zespolonych:

$$x(n) = e^{j \frac{2\pi}{N} m n} \text{ oraz } x(n) = e^{-j \frac{2\pi}{N} m n},$$

dla  $n=0,1,\dots,N-1$  i różnych całkowitoliczbowych wartości  $0 \leq m \leq N-1$ .

$$\text{Zauważ, że } x(n) = e^{-j \frac{2\pi}{N} m n} = e^{j \frac{2\pi}{N} (N-m) n}.$$

Wyznacz  $X(k)$  w sposób analityczny (na papierze) i porównaj otrzymany wynik z obliczeniami numerycznymi (matlab).

```
%Wyznaczanie widma sygnalow zespolonych uzywajac DFT
N = 50;
n = 0:N-1;
m = [0;1;8;16;N-1];
x1 = exp(1j*2*pi/N*m*n);
x2 = exp(-1j*2*pi/N*m*n);

figure(1)
for w = 1:length(m)
    for k = 0:N-1
        X1(w,k+1) = sum(x1(w,:).*exp(1j*2*pi/N*k.*n));
        X2(w,k+1) = sum(x2(w,:).*exp(-1j*2*pi/N*k.*n));
    end
    subplot(1,2,1), stem(0:k, abs(X2(w,:))), hold on
    subplot(1,2,2), stem(0:k, abs(X1(w,:))), hold on
end

subplot(1,2,1), xlim([0, 50]), grid on, title('x2 = exp(j2\pi/mn)')
legend('m=0', 'm=1', 'm=8', 'm=16', 'm=N-1'), xlabel('k')
subplot(1,2,2), xlim([0, 50]), grid on, title('x1 = exp(-j2\pi/mn)')
legend('m=0', 'm=1', 'm=8', 'm=16', 'm=N-1'), xlabel('k')
```

**Z2.** Stosując algorytm dyskretnej transformacji Fouriera (DFT) wyznaczyć widma poniższych sygnałów mających po  $N$  próbek ( $n=0,1,\dots,N-1$ ).

$$1) \quad x(n) = \text{DC} + \sin\left(\frac{2\pi}{N} m n\right), \quad x(n) = \text{DC} + \cos\left(\frac{2\pi}{N} m n\right),$$

dla  $m$  będącego liczbą całkowitą  $0 \leq m \leq N-1$  i dla różnych wartości DC,

$$2) \quad x(n) = \sin\left(\frac{2\pi}{N} m n + \phi\right),$$

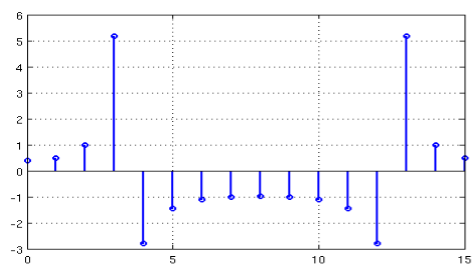
dla  $m$  będącego liczbą całkowitą i różnych wartości przesunięcia fazy  $\phi$ ,

$$3) \quad x(n) = \sin\left(\frac{2\pi}{N} m n\right), \text{ dla różnych wartości } m \text{ nie będących liczbami całkowitymi.}$$

Narysuj część rzeczywistą i urojoną widma (na jednym rysunku) oraz moduł (na drugim rysunku). Zaobserwuj symetrię modułu widma, oraz części rzeczywistej i urojonej widma.

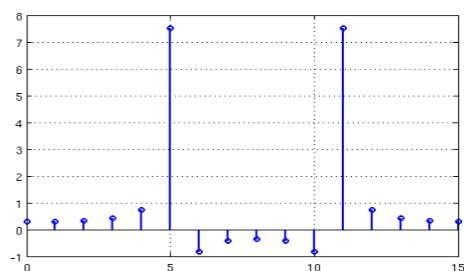
Dla przypadku, kiedy  $m$  jest liczbą całkowitą wyznacz  $X(k)$  w sposób analityczny i porównaj otrzymany wynik z wynikiem z matlaba.

$$x(n) = \sin(2\pi/16 \cdot 3.3 \cdot [0:15])$$



$\text{real}(X)$

$$x(n) = \cos(2\pi/16 \cdot 5.1 \cdot [0:15])$$



$\text{real}(X)$



```

N=15;
n=[0:N-1];
m=2;

DC=5;
x=DC+sin(2*pi*m*n/N);
for k=0:N-1
    X(k+1)=sum(x(n+1).*exp(-j*2*pi*k*n/N));
end
figure(2)
subplot(2,1,1);
stem(n,real(X)); grid on; title('Re(X)') %widma sin
subplot(2,1,2);
stem(n,imag(X)); grid on; title('Im(X)')

x=DC+cos(2*pi*m*n/N);
for k=0:N-1
    X(k+1)=sum(x(n+1).*exp(-j*2*pi*k*n/N));
end
figure(3)
subplot(2,1,1);
stem(n,real(X)); grid on; title('Re(X)') %widma cos
subplot(2,1,2);
stem(n,imag(X)); grid on; title('Im(X)')

%2)
fi=pi/4;
x=sin(2*pi*m*n/N+fi);
for k=0:N-1
    X(k+1)=sum(x(n+1).*exp(-j*2*pi*k*n/N));
end
figure(4)
subplot(2,1,1);
stem(n,real(X)); grid on; title('Re(X)') %widma dnaej 2 funkcji
subplot(2,1,2);
stem(n,imag(X)); grid on; title('Im(X)')

%3)
m=3.5;
x=sin(2*pi*m*n/N+fi);
for k=0:N-1
    X(k+1)=sum(x(n+1).*exp(-j*2*pi*k*n/N));
end
figure(5)
subplot(2,1,1);
stem(n,real(X)); grid on; title('Re(X)') %widma danej 3 funkcji
subplot(2,1,2);
stem(n,imag(X)); grid on; title('Im(X)')

```

**Z3.** Zaprojektować algorytm do analizy częstotliwościowej sygnałów pozwalającej na rozróżnienie składowych różniących się o 1 Hz, i rozpiętości amplitudy 1000x, częstotliwość próbkowania  $f_p=1000\text{Hz}$ .

Uwaga: wykorzystać DFT z oknem Kaisera. Szerokość listka głównego okna Kaisera i poziom 1-szego listka bocznego warunkowana jest parametrem i długością okna  $N$ .

$$\beta = \begin{cases} 0, & A_{sl} < 13.26\text{dB} \\ 0.76609(A_{sl} - 13.26)^{0.4} + 0.09834(A_{sl} - 13.26), & 13.26 < A_{sl} < 60\text{dB} \\ 0.12438(A_{sl} + 6.3), & A_{sl} > 60\text{dB} \end{cases}$$

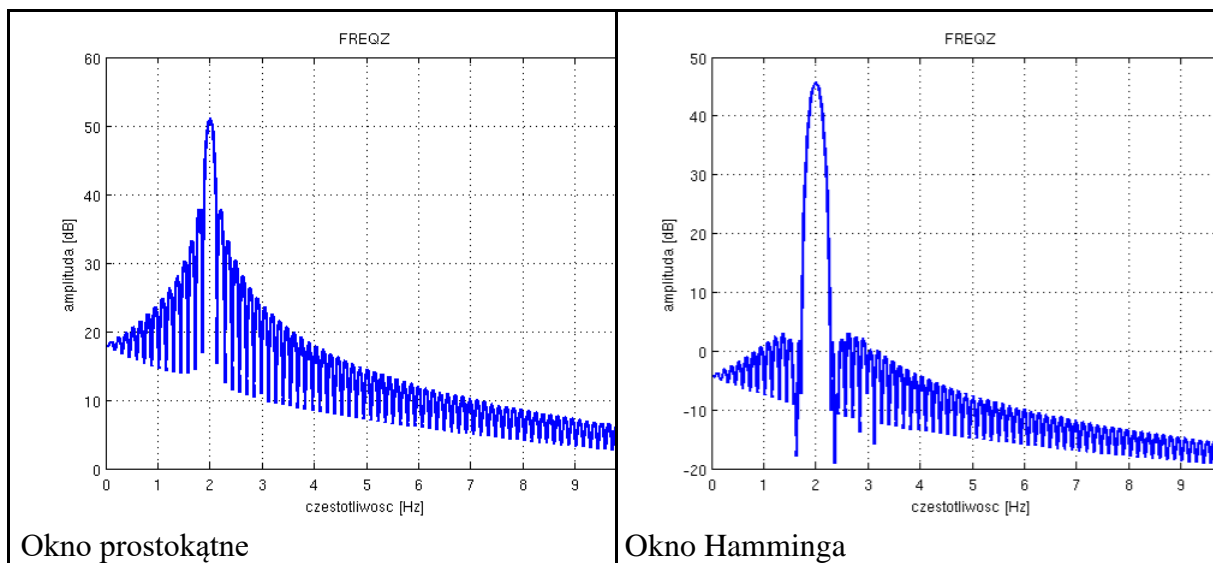
$$N = \left\lceil \frac{24\pi(A_{sl} + 12)}{155\Delta_{ml}} \right\rceil + 1$$

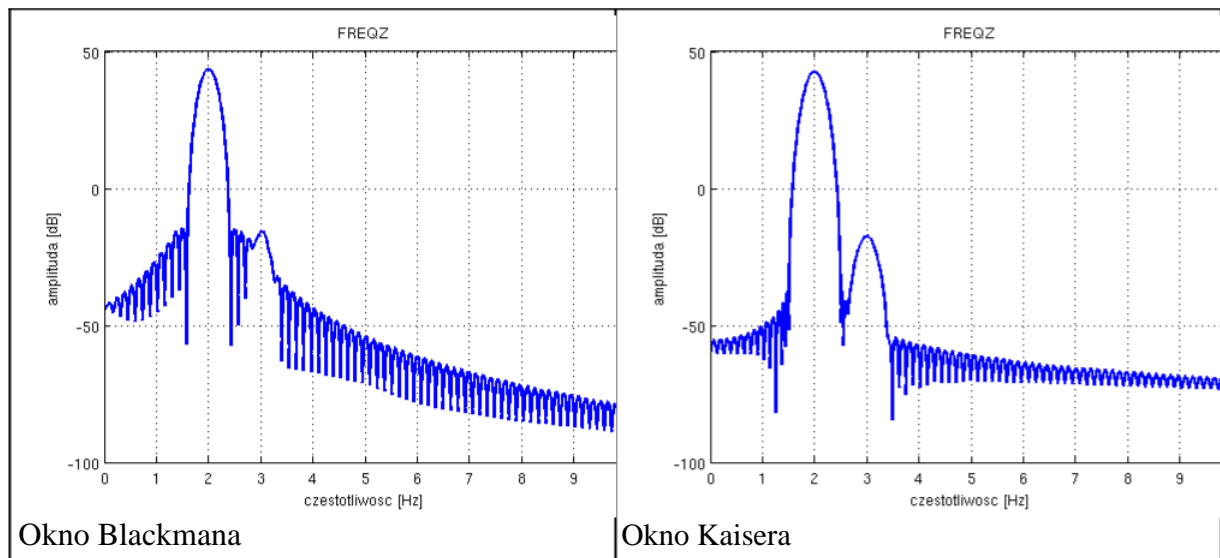
W powyższym wzorze  $m_l$  jest szerokością listka głównego wyrażoną w [rad/s], tj  $m_l = 2 \pi (\Delta f / f_p)$ , a  $A_{sl} = 60$  dB poziomem tłumienia listków bocznych.

Przykładowo, weźmy sygnał

```
f1 = 2;  
f2 = f1+1;  
n = 0:N-1;  
x = sin(2*pi*f1/fp*n) + 0.001*cos(2*pi*f2/fp*n);
```

Stosując znane okna otrzymujemy następujące widma:





%analiza czestotliwosciowa rozrozniajaca skladowe

```
df = 1;
fp = 1000;
Asl = 80;
dml = 2*pi*df/fp;
beta = 0.12438*(Asl+6.3);
N = round((24*pi*(Asl+12))/(155*dml)+1);
n = 0:N-1;

f1 = 2;
f2 = f1+df;
x = sin(2*pi*f1/fp*n)+0.001*cos(2*pi*f2/fp*n);

w = kaiser(N,beta)';
xw = x.*w;
figure(5)
f = 0:0.001:10;
freqz(xw,1,f,fp)
```

**Z4.** Napisać dwie wersje funkcji wyznaczającej spłot kołowy dwóch sygnałów. Wersja pierwsza powinna korzystać z definicji spłotu, a wersja druga z twierdzenia o splocie dla DFT.

```
%spłot sygnałów
x = [1 2 3 2 1];
h = [0 1 2 3 4];
N = length(x);

%wersja 1 - z definicji spłotu
y=zeros(1,N);
for n = 0:N-1
    y(n+1) = sum(x.*circshift(fliplr(h),n+1));
end

%wersja 2 - z DFT
n = 0:N-1;
for k = 0:N-1
    X(k+1) = sum(x.*exp(-1j*2*pi/N*k.*n));
    H(k+1) = sum(h.*exp(-1j*2*pi/N*k.*n));
end
Y = X.*H;
for k = 0:N-1 %odwrotna transformacja
    yp(k+1) = 1/N*sum(Y.*exp(1j*2*pi/N*k.*n));
end
y
```

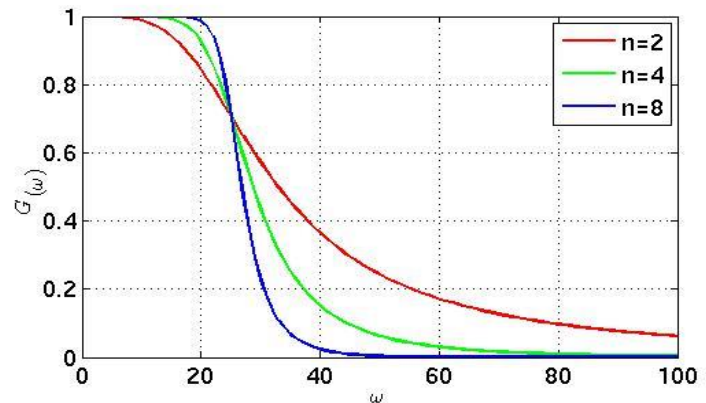
## Projektowanie cyfrowych filtrów IIR typu Butherworth'a

Moduł charakterystyki częstotliwościowej filtru analogowego  $n$ -tego rzędu

$$G(\omega) = |H(j\omega)| = \frac{1}{\sqrt{1 + \left(\frac{j\omega}{j\omega_c}\right)^{2n}}}$$

$$\sqrt{1 + \left(\frac{j\omega}{j\omega_c}\right)^{2n}}$$

$$G(\omega) = |H(j\omega)| = \frac{1}{\sqrt{1 + \left(\frac{j\omega}{j\omega_c}\right)^{2n}}}$$



**Z1.** Napisz skrypt, który narysuje moduł charakterystyki częstotliwościowej filtru analogowego o rzędzie  $n = 2, 4$ , i  $8$ , tak jak pokazano to na rysunku powyżej.

**Kod:**

```
clc;clear all;close all;
n=2;
w=0:0.01:100;
wc=25;
G_n2=1./ (sqrt (1+(1j*w/(1j*wc)).^(2*n)) );

plot(w,G_n2,'r','LineWidth',1.1);
grid on;
hold on

n=4;
G_n4=1./ (sqrt (1+(1j*w/(1j*wc)).^(2*n)) );
plot(w,G_n4,'g','LineWidth',1.1);
grid on;
hold on

n=8;
G_n8=1./ (sqrt (1+(1j*w/(1j*wc)).^(2*n)) );

plot(w,G_n8,'b','LineWidth',1.1);
grid on;
hold on
xlabel ('\omega')
ylabel ('G(\omega)')
legend ('n=2','n=4','n=8')
```

**Z2.** Korzystając z metody transformacji biliniowej zaprojektuj cyfrowy dolnoprzepustowy filtr Butterworth'a o częstotliwości granicznej  $\omega_{3dB} = 0.8 \cdot \pi = 2 \pi f_{3dB} / f_s$  i rzędzie  $n=3$ .

Rozwiązanie powyższego zadania wymaga wykonania kilku kroków

**K1.** wyznaczamy częstotliwość graniczną (3dB) filtra analogowego:

$$\omega_c = 2 / T \operatorname{tg} (\omega_{3dB} / 2)$$

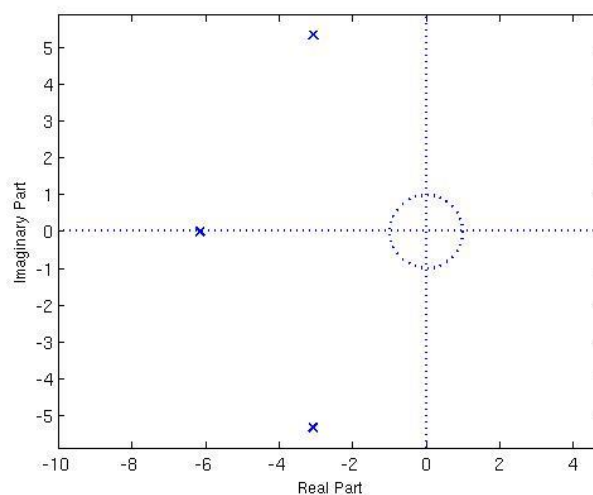
przyjmując  $f_s = 1$  mamy  $T = 1$

$$\omega_c = 2 \operatorname{tg} (\omega_{3dB} / 2)$$

**K2.** wyznaczamy bieguny analogowego filtra Butterworth'a:

$$s_k = \omega_c e^{j \pi (1 + 2k) / 2n} e^{j \pi / 2}, \quad k = 0, 1, \dots, n-1$$

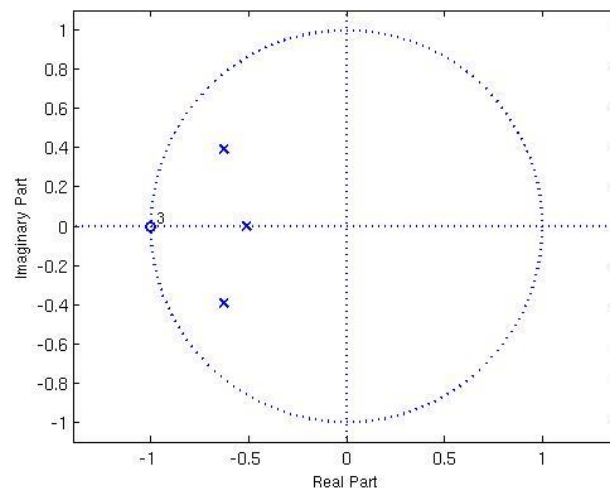
korzystając z funkcji *zplane* rysujemy położenie wyznaczonych biegunów filtra analogowego



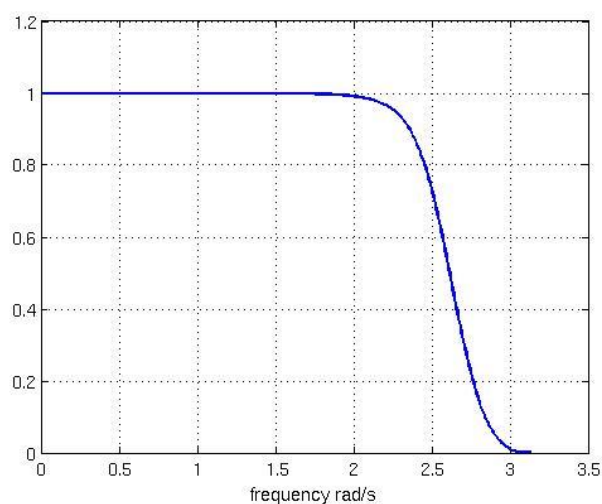
**K3.** Korzystając z transformacji biliniowej budujemy transmitancję filtra cyfrowego

$$H(z) = G_0 \frac{\prod_{k=1}^n (z - (-1))}{\prod_{k=1}^n (z - (2 + s_k)/(2 - s_k))}, \text{ gdzie czynnik } G_0 = \prod_{k=1}^n (-s_k) / \prod_{k=1}^n (2 - s_k)$$

jest wzmocnieniem DC (dla  $\omega=0$ ) filtra. Zera transmitancji  $H(z)$  są w miejscach  $z = -1$ , a bieguny w  $(2 + s_k)/(2 - s_k)$ . Korzystając z funkcji *zplane* rysujemy położenie wyznaczonych zer i biegunów filtra cyfrowego.



**K4.** Korzystając z funkcji *prod* i *poly* budujemy licznik i mianownik transmitancji  $H(z)$  filtra cyfrowego i wyznaczamy jego charakterystykę częstotliwościową. Sprawdzamy, czy dla częstotliwości granicznej  $\omega_{3dB} = 0.8 \cdot \pi$  wzmocnienie wynosi  $1/\sqrt{2}$ .



### Kod:

```
clc;clear all; close all;
n=3;
w3dB=0.8*pi;

%K1
T=1; fs=1;
wc=(2/T)*tan(w3dB/2);
%K2
k=0:1:n-1;
sk=wc*exp(j*pi()* (1+2*k)/(2*n))*exp(j*pi/2);

sk=sk';

zplane([],sk)
title('Bieguny filtru analogowego')

%K3
G0=prod(-sk)/prod(2-sk);
figure(2)
zera=[-1 -1 -1]';
bieguny=(2+(sk))./(2-(sk));
zplane(zera,bieguny)
title('Bieguny filtru cyfrowego')

%K4

mian = poly(bieguny);
licz = poly(zera);

figure(3)

[H,wl]=freqz(G0*licz,mian);
plot(wl,(abs(H)));grid on;
```

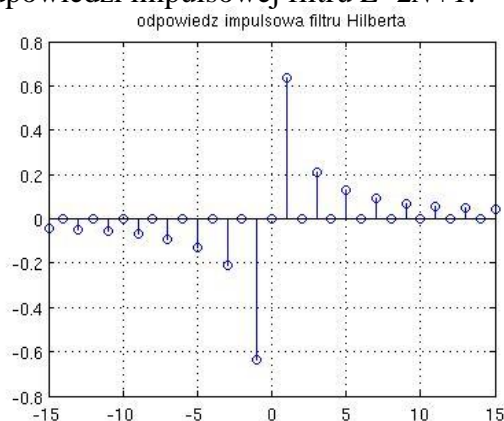


**Transformata Hilberta, sygnał analityczny, demodulacja amplitudy i fazy**

**Z1.** Napisać skrypt w języku Matlab (lub funkcję) wyznaczającą odpowiedź impulsową filtra Hilberta, wg równania:

$$h_w(n) = \begin{cases} w(n) \frac{1}{\pi n} (1 - (-1)^n), & -N < n < N \text{ i } n \neq 0 \\ 0, & n = 0 \end{cases},$$

gdzie  $w(n)$  jest funkcją okna czasowego (hamming, blackman, itp.).  $N$  – określa długość odpowiedzi impulsowej filtra  $L=2N+1$ .



**Kod:**

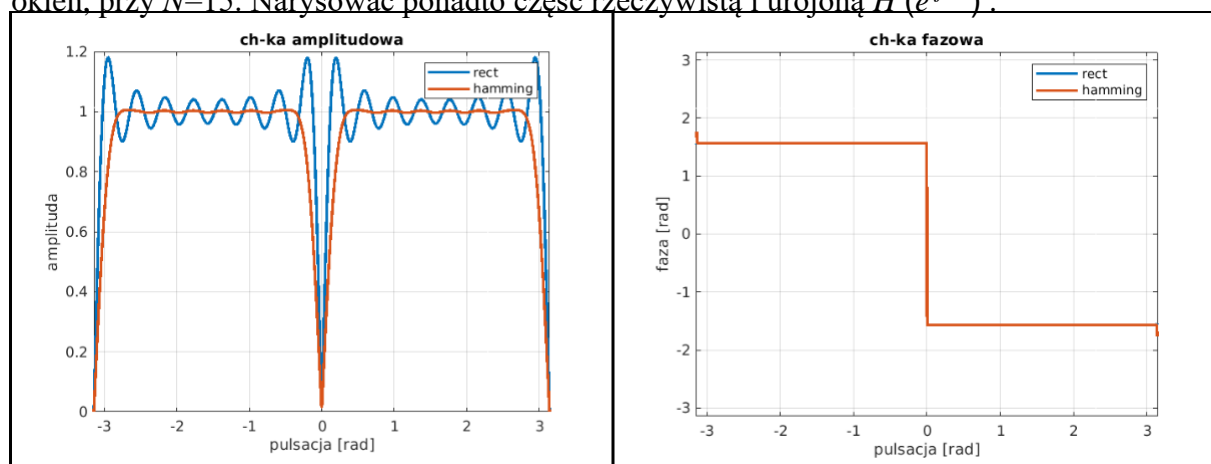
```
N=15;
L=2*N+1;
wblack=(blackman(2*N+1))';
n=-N:1:N;
n_minus=-N:-1;
hw1=((1-(-1).^n_minus)./(pi.*n_minus));

n_plus=1:N;
hw3=((1-(-1).^n_plus)./(pi.*n_plus));
hw=[hw1 0 hw3];

hw_black=wblack.*[hw1 0 hw3];
stem(n,hw_black);
grid on;
title('odpowiedź impulsowa filtru Hilberta')
```

**Z2.** Korzystając ze wzoru  $H(e^{j\omega}) = \sum_{n=-N}^N h(n)e^{-j\omega n}$ ,

wyznaczyć ch-kę amplitudową i fazową filtra Hilberta. Cha-ki wyznaczyć dla różnych funkcji okien, przy  $N=15$ . Narysować ponadto część rzeczywistą i urojoną  $H(e^{j\omega})$ .



Zwrócić uwagę, że zmienna  $\omega$  jest ciągła, więc w przypadku realizacji komputerowej wartości tej funkcji wyznaczamy tylko dla wybranych dyskretnych wartości.

Ponieważ wyznaczana funkcja  $H(e^{j\omega})$  jest zespolona, to zwykle przedstawia się jej przebieg w postaci dwóch wykresów: modułu *abs*, zwanego ch-ką amplitudową, i argumentu *angle*, zwanego ch-ka fazową.

Uwaga: zwróć uwagę i przekonaj się doświadczalnie, że funkcja  $H(e^{j\omega})$  jest okresowa.

```
N=15;
L=2*N+1;
wblack=(blackman(2*N+1))';
n=-N:1:N;
n_minus=-N:-1;
    hw1=((1-(-1).^n_minus)./(pi.*n_minus));

n_plus=1:N;
    hw3=((1-(-1).^n_plus)./(pi.*n_plus));
hw=[hw1 0 hw3];

hw_black=wblack.*[hw1 0 hw3];

w_omega=linspace(-pi,pi,1000);
n=-N:1:N;
for zmienna2=1:length(w_omega)
    H_black(zmienna2) = sum(hw_black.*exp(-1j*w_omega(zmienna2)*n));
end

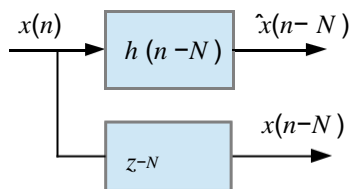
for zmienna2=1:length(w_omega)
    H(zmienna2) = sum(hw.*exp(-1j*w_omega(zmienna2)*n));
end
figure(2)
plot(w_omega,abs(H),'b');
grid on;
hold on;
plot(w_omega,abs(H_black),'r');
grid on;
hold on
legend('rect','hamming')
title('ch-ka amplitudowa')
xlim([-pi,pi])

figure(3)
plot(w_omega,angle(H),'b');
grid on;
hold on;
plot(w_omega,angle(H_black),'r');
grid on;
hold on
legend('rect','hamming')
title('ch-ka fazowa')
xlim([-pi,pi])
```

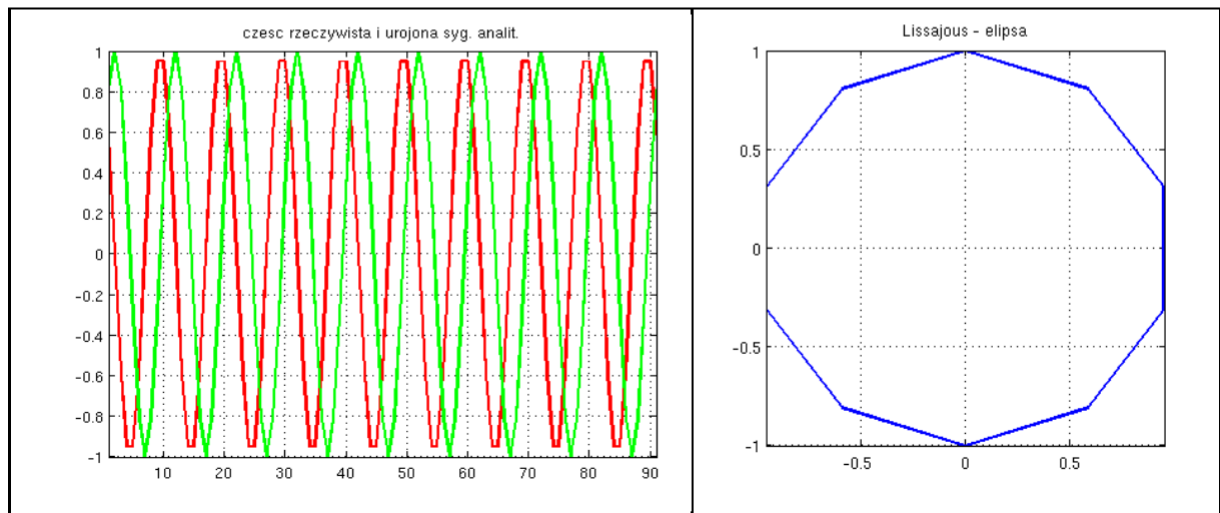
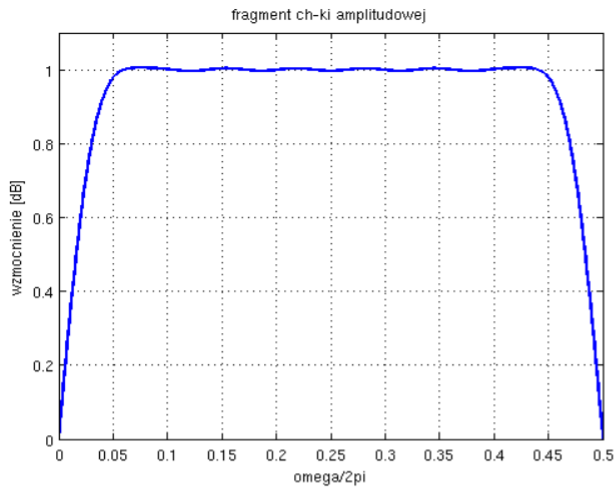
**Z3.** Korzystając z wyników poprzednich zadań, napisać program wyznaczający sygnał analityczny odpowiadający danemu sygnałowi rzeczywistemu. Sygnał analityczny definiowany jest poniższym wzorem

$$x_+(n) = x(n) + j\hat{x}(n)$$

i może być uzyskany z wykorzystaniem filtru Hilberta  $h(n)$  zgodnie z poniższym schematem.



Dla celów zadania, jako sygnał rzeczywisty  $x(n)$  przyjąć przebieg kosinusoidalnie zmienny o pulsacji unormowanej równej  $2\pi \cdot 0.1$  rad, a następnie  $2\pi \cdot 0.12$  rad.



```

N=15;
L=2*N+1;
w=blackman(L);

for n=-N:N
    if n ~= 0
        hb(n+N+1)=w(n+N+1)/(pi*n)*(1-(-1)^n);
    end
end
Nh=N;
N = 4*2*Nh;
n = 0:N-1;

xx=cos(2*pi*0.1.*n);
%xx=cos(2*pi*0.1.*n);
;

x_hi=filter(hb, 1, xx);

x=[zeros(1, Nh), xx(1:N-Nh)];
xa=x+j*x_hi;

```

```
xa = xa(2*Nh:N);
```

```
figure(4)
n1=1:length(xa);
plot(n1, imag(xa), 'g', n1, real(xa), 'r')
axis('tight');
```

**Z4.** Demodulacja amplitudy. Załóżmy, że dany jest sygnał

$$x(n) = A(n) \cos(\omega_0 n), \quad A(n) \geq 0 \quad (1)$$

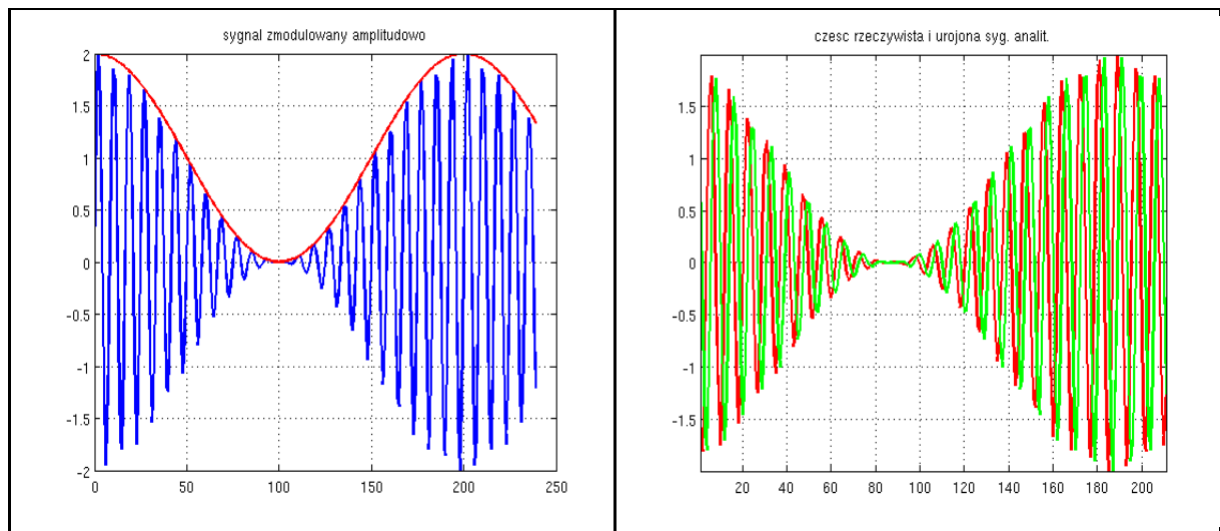
i poszukujemy wartości  $A(n)$ , która jest funkcją wolnozmienną i stanowi obwiednię sygnału  $x(n)$ . Zadanie to można łatwo rozwiązać mając do dyspozycji tzw. sygnał analityczny odpowiadający sygnałowi (1):

$$x_+(n) = x(n) + j \hat{x}(n) = A(n) \cos(\omega_0 n) + j A(n) \sin(\omega_0 n)$$

Wtedy

$$|x_+(n)| = \sqrt{(\Re\{x_+(n)\})^2 + (\Im\{x_+(n)\})^2} = A(n) \sqrt{\cos^2(\omega_0 n) + \sin^2(\omega_0 n)} = A(n)$$

W zadaniu przyjąć, że częstotliwość unormowana przebiegu  $A(n)$  jest równa  $2\pi \cdot 0.005$  rad. Jako częstotliwość kątową nośnej przyjąć: 1)  $2\pi \cdot 0.05$  rad, oraz 2)  $2\pi \cdot 0.1$  rad. Wyjaśnić czym spowodowana jest różnica w jakości pracy demodulatora przy dwóch różnych częstotliwościach nośnej.



Kod:

```

N=15;
L=2*N+1;
w=blackman(L);

for n=-N:N
    if n ~= 0
        hb(n+N+1)=w(n+N+1)/(pi*n)*(1-(-1)^n);
    end
end
Nh=N;
N = 8*2*Nh;
n = 0:N-1;
n2=n;

w0=2*pi*0.005;
wkn1=2*pi*0.1; %PT: 0.05 to troche za malo
%wkn2=2*pi*0.01;
a=1+cos(w0*n);

x=a.*sin(wkn1*n);
al=a;
x1=x;
N=length(x);

x_hi=filter(hb, 1, x);

x=[zeros(1, Nh), x(1:N-Nh)];
x_an=x+j*x_hi;

x_an = x_an(2*Nh:N);

n1=1:length(x_an);

```

figure(5)

```
hold on
plot(n2, x1, 'b')
plot( n2, a1, 'r')
title("Sygnał, zmodulowany amplitudowo");
%
figure(6)
plot(n1, imag(x_an), 'g')
hold on
plot( n1, real(x_an), 'r')
title("Część rzeczywista i urojona syg.an1");
figure(7)
a_hat = sqrt(real(x_an).^2 + imag(x_an).^2);

plot(a_hat, 'LineWidth', 2);
grid;
title('syg. po demodulacji');
axis('tight')
```

**Z5.** Demodulacja fazy. Załóżmy, że dane są dwa sygnały  $x(n)$  i  $y(n)$  jak poniżej

$$(28) \quad x(n) = A(n) \cos(\omega_0 n), \quad y(n) = B(n) \cos(\omega_0 n + \varphi(n))$$

$$(29) \quad x_+(n) = x(n) + j \hat{x}(n) = A(n) \cos(\omega_0 n) + j A(n) \sin(\omega_0 n)$$

$$(30) \quad y_+(n) = y(n) + j \hat{y}(n) = B(n) \cos(\omega_0 n + \varphi(n)) + j B(n) \sin(\omega_0 n + \varphi(n))$$

$$(31) \quad x_+(n) = A(n) e^{j\omega_0 n}, \quad y_+(n) = B(n) e^{j(\omega_0 n + \varphi(n))}$$

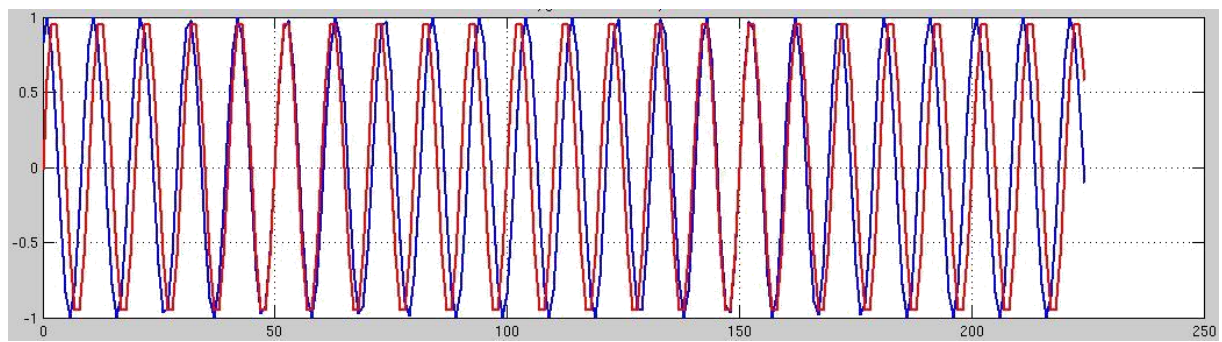
$$(32) \quad x_+^*(n) y_+(n) = A(n) e^{-j\omega_0 n} B(n) e^{j(\omega_0 n + \varphi(n))}$$

$$(33) \quad x_+^*(n) y_+(n) = A(n) B(n) e^{j\varphi(n)}$$

$$(34) \quad \tan \varphi(n) = \frac{\Im(x_+^*(n) y_+(n))}{\Re(x_+^*(n) y_+(n))}$$

Należy utworzyć dwa sygnały analityczne (29) i (30), a następnie ich iloczyn jak pokazuje (33). Wzór (34) można zaimplementować w Matlabie korzystając z funkcji *angle*, której argumentem będzie sygnał (33).

Jako sygnał  $x(n)$  można wykorzystać sygnał nośny z zadania Z4, tj. przyjmując że  $A(n)=1$ . Jako sygnał  $\varphi(n)$  można wziąć sygnał  $A(n)$  z zadania Z4. Sygnały te pokazano na poniższym rysunku.



Rys. Sygnał  $x(n)$  i  $y(n)$